



## شیمی کانی و شرایط تشکیل آمفیبولیت‌های مجموعه دگرگونی گیسور، شرق گناباد

عبدالصمد پورمحمد<sup>۱</sup>، احمد احمدی‌خلجی<sup>\*</sup>، سیدمسعود همام<sup>۲</sup>، محمد ابراهیمی<sup>۳</sup>، رسول اسمعیلی<sup>۴</sup>، زهرا طهماسبی<sup>۱</sup>

- ۱- گروه زمین‌شناسی، دانشکده علوم پایه، دانشگاه لرستان
- ۲- گروه زمین‌شناسی، دانشکده علوم پایه، دانشگاه فردوسی مشهد
- ۳- گروه زمین‌شناسی، دانشکده علوم، دانشگاه زنجان
- ۴- انجمن زمین‌شناسی و ژئوفیزیک، آکادمی علوم چین

(دریافت مقاله: ۹۸/۸/۸، نسخه نهایی: ۹۸/۱۲/۳)

**چکیده:** منطقه گیسور در شرق شهرستان گناباد قرار دارد و بخشی از شمال قطعه لوت محسوب می‌شود. این منطقه شامل سنگ‌های گرانیتوئیدی و مجموعه دگرگونی است. سنگ‌های دگرگونی این منطقه به دو دسته رسانی دگرگونه و آمفیبولیت‌ها تقسیم می‌شوند. براساس شواهد صحرایی و کانی‌شناسی؛ سنگ‌مادر آمفیبولیت‌ها سنگ کربناتی ناخالص است. وجود گارنت پسازمین‌ساخت و آمفیبولیت‌های متقطع و تصادفی در این آمفیبولیت‌ها بیانگر عملکرد دگرگونی مجاورتی بر این سنگ‌هاست. گارنت‌ها رفتاری از آرمانی تا غیرآرمانی دارند. اعضای نهایی گارنت در این سنگ‌ها متنوع و شامل Al-شورلومایت، اواروایت، اسپسارتین، پیروپ، آلماندین، گروسولار، آندرادیت، موریموتايت و میجورایت هستند، اما الگوی نیمرخ آن‌ها مسطح است. آمفیبول از نوع فروهورنبلند تا فروچرماتیک و چرماتیک بوده و دارای منطقه‌بندی ترکیبی است. بیوتیت کلریتی شده است. حضور کانی‌های تیتانیت، اسفن و اپیدوت نشانه‌ای از اثر گریزندگی اکسیژن است. بر پایه زمین دما فشارسنگی، مقدار دما و فشار برای آمفیبولیت‌ها  $2 - 4 \text{ kbar}$  و حدود  $534 - 609^\circ\text{C}$  به دست آمد. آمفیبولیت‌های گیسور تا گستره رخساره آمفیبولیت میانی در هاله دگرگونی پیش رفته‌اند. این سنگ‌ها دستخوش یک دگرگونی برگشتی نیز شده‌اند که دما و فشار آن  $489^\circ\text{C}$  و  $2/8 \text{ kbar}$  است و بیوتیت‌های کلریتی شده دمایی کمتر از  $150^\circ\text{C}$  را نشان می‌دهند.

**واژه‌های کلیدی:** گریزندگی/اکسیژن؛ گارنت آمفیبولیت؛ هاله دگرگونی؛ گیسور؛ گناباد؛ قطعه لوت.

از جمله پژوهش‌های انجام شده در این منطقه، بررسی زمین‌شیمیایی عناصر بر زیرکن‌های موجود در گرانیت‌های گیسور برای سن‌سنگی به روش U-Pb است [۸]. کریمپور و مرادی [۹] نیز در گستره نقشه‌های زمین‌شناسی نوده و گناباد [۱۰، ۱۱]، اقدام به سن‌سنگی توده‌های مونزونیتی نجم‌آباد (۳۹/۹ میلیون سال) با استفاده از روش U-Pb زیرکن‌ها کردند. جوادی [۱۲] سنگ‌های دگرگونی منطقه گیسور را وابسته به دگرگونی ناحیه‌ای و مجاورتی دانسته و هاله دگرگونی مجاورتی را با نوع ۲b [۱۳] همسان می‌داند. بررسی دقیق و منسجمی بر مجموعه دگرگونی گیسور صورت نگرفته است و شناخت این

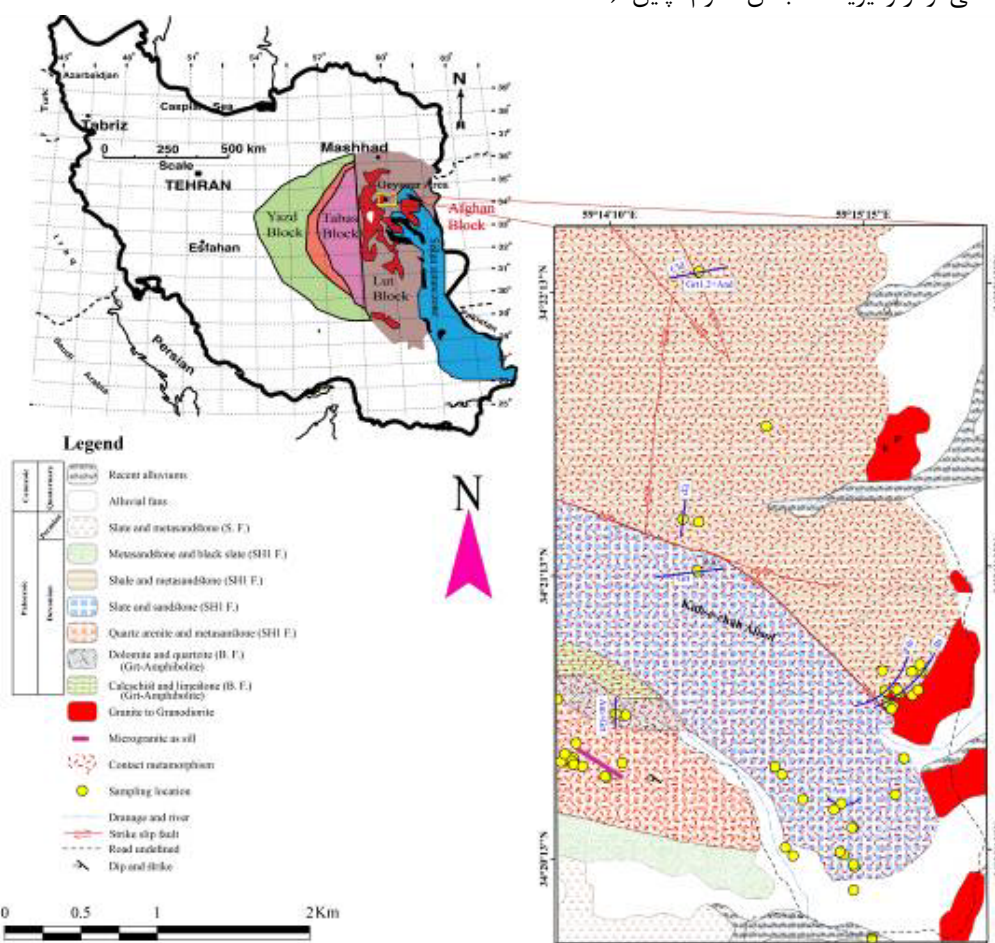
### مقدمه

انجمن بین المللی علوم زمین‌شناسی، IUGS، برای نامگذاری سنگ‌های دگرگونی [۱]، آمفیبولیت را سنگ دگرگونی بیشتر در بردارنده پلازیوکلاز و هورنبلند می‌داند که می‌تواند دارای مقادیر فرعی از کانی‌های دیگر چون گارنت و پیروکسن باشد. بسیاری از پژوهشگران آمفیبولیت‌ها را در نواحی دگرگونی ناحیه‌ای [۴-۲] و یا مجاورتی [۵] بررسی کرده و بی‌برده‌اند که شرایط تشکیل آنها متفاوت است. همچنین آمفیبولیت‌ها می‌توانند از سنگ‌های مادر مختلفی مانند سنگ‌های مافیک، فرامافیک و آهکی سیلیکاتی به وجود آیند [۶، ۷].

(CAS) ارسال شدند. در این بررسی از داده‌هایی با اعتبار کافی استفاده شد. نتایج به کمک نرم‌افزارهای گوناگون شامل GTB v.3.7 Thermocalc [۱۴] با بانک اطلاعاتی tcds55 [۱۵]، WinAmpcal v.2.1 [۱۶] و WinCcac v.15 [۱۷] پردازش و تحلیل شدند. نشانه‌های بکار رفته در این مقاله برگرفته از مراجع [۱۸، ۱۹] هستند.

#### زمین‌شناسی

مجموعه دگرگونی گیسور در ۵۸ کیلومتری شرق شهرستان گناباد قرار دارد و بخشی از ناحیه شمالی پهنه ساختاری قطعه لوت به شمار می‌آید [۲۰]. این منطقه بخشی از نقشه ۱:۱۰۰۰۰۰ نوده [۱۰] و نقشه ۱:۲۵۰۰۰۰ گناباد [۱۱] به مختصات طول جغرافیایی "۵۲°۱۳'۰۰" تا "۵۹°۰۵'۰۰" و عرض جغرافیایی "۳۴°۲۲'۰۰" تا "۳۴°۱۹'۰۰" شرقی و عرض شمالی است (شکل ۱).



شکل ۱ نقشه زمین‌شناسی منطقه مورد بررسی، برگرفته از نقشه ۱:۱۰۰۰۰۰ نوده [۹] با کمی تغییرات. نشانه‌های استفاده شده در راهنمای نقشه شامل B.F = سازند بهرام، S.F = سازند شیشت، SH1.F = سازند شیشت ۱، و S.H = سازند هشتاد. محل نمونه‌های شاخص بر نقشه مشخص شده‌اند.

مجموعه و ارتباط آن با توده گرانوڈیوریتی گیسور کمک شایانی به شناخت جایگاه زمین ساختی و فعالیت ماقمایی شمال قطعه لوت می‌کند. در این پژوهش ضمن آزمون روش‌های مختلف برای تعیین شرایط دگرگونی، ویژگی‌های صحرایی، سنگنگاری و شیمی کانی آمفیبولیت‌های گیسور بررسی شد.

#### مواد و روش‌ها

در راستای بررسی واحدهای سنگی مجموعه دگرگونی گیسور، از ۵۲ ایستگاه در مدت ۱۴ روز نمونه‌برداری شد که پس از بررسی‌های صحرایی و سنگ‌شناسی از نمونه‌های برداشت شده، تعداد ۴۹ مقطع نازک تهیه و از میان آن‌ها، ۱۰ مقطع نازک آمفیبولیت برای سنگنگاری استفاده شد. از بین ۳ مقطع نازک صیقلی چند کانی برای تجزیه ۳۰ نقطه توسط دستگاه ریزکاونده الکترونی مدل CAMECA SX Five با ولتاژ شتاب ۱۵ kV و جریان پرتو ۲۰ nA (اندازه پرتو ۵ μm) به موسسه زمین‌شناسی و ژئوفیزیک انجمن علوم چین (IGG-

شیست‌ها، بیوتیت-فیبرولیت شیست‌ها قرار دارند که به احتمال بسیار فیبرولیت در اثر سیال‌های اسیدی از بیوتیت تشکیل شده است [۲۲]. در انتهای ضلع غربی، کلریتوئید شیست‌ها رخنمون دارند. کلریتوئید شیست‌ها در ضلع شمالی نیز دیده می‌شوند و دارای آندالوزیت هستند. همچنین در این بخش، آندالوزیت - گارنت شیست دیده می‌شود. آمفیبولیت‌ها در ضلع جنوبی و شرقی دیده می‌شوند. آمفیبولیت‌ها به صورت میان‌لایه در متاپلیت‌ها واقع بوده و با آنها هم شب هستند؛ در لابه-لای آن‌ها رگه‌های پigmاتیتی با ضخامت بسیار تزریق شده‌اند (شکل ۲ ب) و در هیچ جا از این مجموعه، سنگ‌های مافیک و فرامافیک دیده نمی‌شود، بلکه آذربین لایه‌های میکروگرانیتی قابل مشاهده‌اند [۲۱]. بنابراین، آمفیبولیت‌ها براساس شواهد صحرایی و حضور کانی‌های شاخصی چون گارنت، آمفیبول-کلسیم‌دار و تیتانیت از سنگ‌مادر کربناتی ناخالص (مانند رسوب‌های کربناتی) ایجاد شده‌اند و براساس شکل ۱، آمفیبولیت‌ها در نتیجه دگرگونی سازند کربناتی بهرام به وجود آمده‌اند. در بخش مرکزی و شرقی، اپیدوت شیست‌ها به همراه آندالوزیت شیست‌ها به صورت متناوب قرار دارند که به احتمال بسیار در ارتباط با تغییر ترکیب محلی است. اپیدوت شیست‌ها به رنگ سبز قابل تشخیص هستند (شکل ۲ پ).

در ضلع جنوبی، گارنت به طور گستردگر، استارولیت و سرانجام سیلیمانیت منشوری دیده می‌شوند (شکل ۱). بنابراین در بخش جنوبی، افزایش دما بیشتر بوده و ضلع شرقی بیشتر در معرض سیال‌های بوردار و اسیدی بوده است. برخی از کانی‌ها مانند آندالوزیت، استارولیت، مسکوویت و آمفیبول بطور تصادفی در سنگ‌ها رشد کرده‌اند که نشانگر افزایش دمای ناشی از نفوذ توده‌های آذربین گرانیتوئیدی است. اندازه بلورهای آندالوزیت و گارنت به ترتیب به ۸ و ۶ می‌رسد. افزون بر این، در کنار آذربین لایه میکروگرانیتی گارنت رشد نموده که در نمونه دستی قرمز آلبالویی است.

#### سنگ‌نگاری

آمفیبولیت‌ها را می‌توان به دو دسته گارنت آمفیبولیت و آمفیبولیت بدون گارنت تقسیم نمود. کانی‌های اصلی آمفیبولیت‌ها شامل گارنت، آمفیبول، پلاژوکلاز و بیوتیت

مجموعه دگرگونی گیسور که در معرض توده‌های نفوذی بوده دارای طیف ترکیب گوناگونی از اسلیت و فیلیت تا انواع شیست‌ها (کلریتوئید شیست، گارنت شیست، گارنت - آمفیبول شیست، آمفیبول شیست، بیوتیت-استارولیت-گارنت شیست، آندالوزیت شیست، سیلیمانیت-آندالوزیت شیست، آندالوزیت-گارنت شیست و آندالوزیت-سیلیمانیت-استارولیت-گارنت شیست) است.

این مجموعه با رنگ سبز در بین سایر سازنده‌های منطقه قابل تشخیص است و در آن ساختار بودین و ریزچین‌ها دیده می‌شود. بودین‌شده‌گی در راستای شمال‌شرقی - جنوب‌غربی و موازی محور ریزچین‌ها ( $S_2$ ) رخ داده و خطواره‌های یکسانی ایجاد نموده‌اند. عبارت دیگر، راستای کشش بودین موازی جهت خطواره ریزچین‌های است. راستای شیستوارگی شمال‌غربی - جنوب‌شرقی ( $S_1$ ) با شب به سمت جنوب‌غرب است. زاویه بین راستای شیستوارگی ( $S_1$ ) و محور ریزچین‌ها ( $S_2$ ) حدود ۱۰۵ درجه است. در ماسه سنگ‌های دگرگون شده، تفاوت بین این دو در تابش نور خورشید نمایان بوده (شکل ۲ الف) و در سنگ‌های رسی دگرگونه (متاپلیت‌ها) تفاوت آشکارتر است. راستای شیستوارگی موازی راستای آذربین لایه میکروگرانیتی است [۲۱]. این منطقه در معرض گسل‌های راستا لغز بوده است و سنگ‌های پیرامون آن در معرض حرکات آن‌ها قرار گرفته‌اند (شکل ۱). در برخی موارد، سنگ‌های گرانیتی پیرامون گسل‌ها خرد شده و به سوی میلونیتی شدن پیش رفته‌اند.

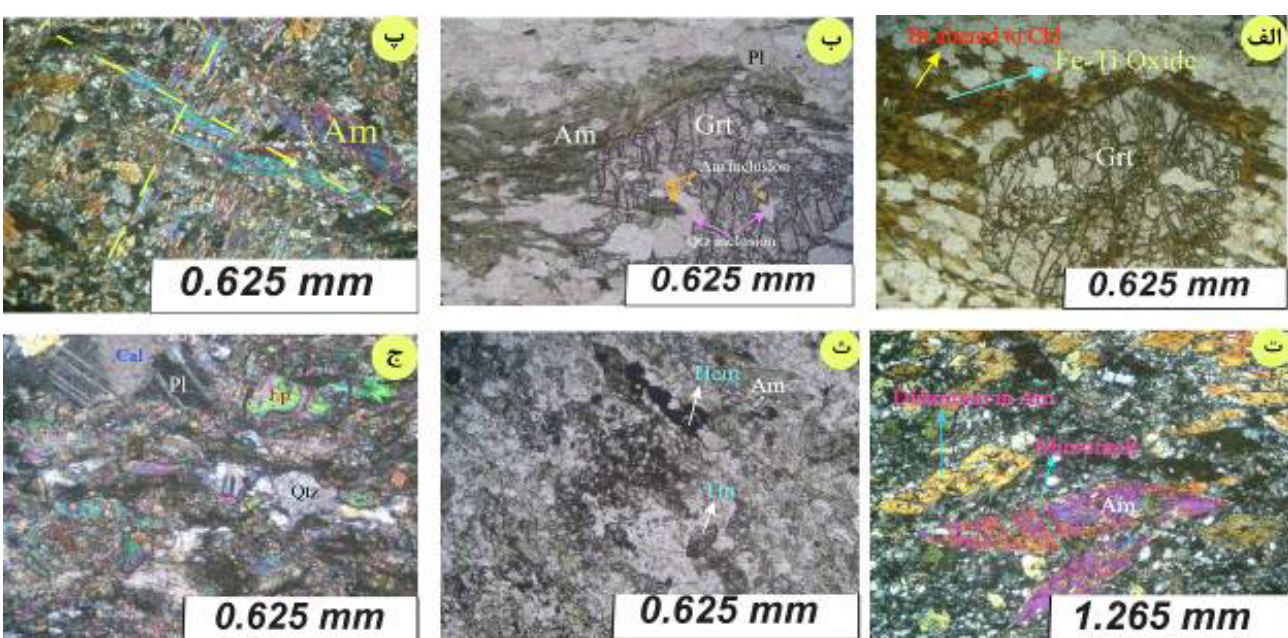
در شرق منطقه مورد بررسی و در کنار توده گرانیتوئیدی گیسور، رگه‌هایی از تورمالین با پهنه‌ای ۱۰ Cm با تراکم بسیار درون شکستگی‌های میکاشیست‌ها دیده می‌شوند. در این مجموعه، رگه‌های پigmاتیتی پر از مسکوویت‌های درشت و تورمالین قابل مشاهده‌اند که به احتمال بسیار در ارتباط با جریان سیال‌های بوردار شکل گرفته از توده گرانیتوئیدی هستند. در کناره‌های توده، سنگ‌های دگرگونی دارای بیوتیت، بیوتیت شیست‌ها را تشکیل داده‌اند. این مجموعه شامل متاپلیت‌ها و آمفیبولیت‌های است. متاپلیت‌ها دارای فراوانی بیشتر و کانی‌های شاخص مانند کلریتوئید، بیوتیت، گارنت، استارولیت، آندالوزیت و سیلیمانیت هستند. در ضلع شرقی پس از بیوتیت

(شیستوارگی خارجی) است. گارنت بر شیستوارگی رشد کرده و آنرا قطع نموده است. بنابراین بلورهای گارنت پسا زمین ساخت هستند. افرون بر این، گارنت در تماس با بیوتیت و آمفیبول است (شکل های ۳ الف و ب)، اما بیوتیت به کلریت تجزیه شده است و اکسیدهای کدر (به احتمال بسیار Fe-Ti دار) در راستای رخ و لبه های بیوتیت پراکنده اند (شکل ۳ الف) که نشانه ای از دگرگونی پسروند است [۲۳].

هستند. دو کانی آمفیبول و بیوتیت در راستای شیستوارگی قرار دارند و کوارتز، تیتانیت و هماتیت آنها را همراهی می کنند. گارنت به صورت شکفته بلور است. آمفیبول ها بافت نخ شکفتی می سازند. گارنت دارای میانبارهایی از بیوتیت، آمفیبول، کوارتز و کانی های کدر بوده و گاهی دارای شکستگی های بسیار و لانه زنیوری است. راستای میانبارهای موجود در گارنت (شیستوارگی داخلی) موازی راستای شیستوارگی زمینه



شکل ۲ الف) جایگاه راستای شیستوارگی های  $S_1$  و  $S_2$  در ماسه سنگ های دگرگون شده. ب) رگه های پگماتیت نفوذ کرده در آمفیبولیتها. پ) اپیدوت شیست در صحراء که با رنگ سبز در بین آندالوزیت شیست ها دیده می شود.



شکل ۳ گارنت آمفیبولیت شامل: (الف) همزیستی گارنت و بیوتیت که بیوتیت در فاز پسروندگی به کلریت تجزیه شده است. اکسیدهای Fe-Ti دار در راستای رخ ها و لبه های بیوتیت آزاد شده اند. گارنت دارای شکستگی های لانه زنیوری و نیز پسا زمین ساخت است. ب) همزیستی گارنت و آمفیبول کلسیمی که میانبارهای کوارتز دارای بقایایی از آمفیبول هستند. آمفیبولیت بدون گارنت شامل: پ) دو دسته آمفیبول که به صورت متقاطع و نسبت به هم تصادفی قرار گرفته اند. ث) اعوجاج و ریزگسل در آمفیبول. ث) تیتانیت و هماتیت در کنار آمفیبول. ج) شیست های اپیدوت دار که پلاژوکلاز با ماکل دگر شکلی، کلسیت و اپیدوت در آن مشخص است.

منشوری آمفیبول در دو راستای قرار دارند و جهت یافته گی تصادفی و متقاطع را ایجاد نموده اند (شکل ۳ ب)، هرچند

آمفیبول به صورت بلورهای منشوری مجزا و گاهی به صورت سوزن های برآمده از یک نقطه، رشد کرده اند. بلورهای

هستند [۲۵]. نسبت به نمونه‌های رسی دگرگونه مجموعه دگرگونی گیسسور [۲۶]، سهم عضو نهایی آلماندین کمتر، سهم اعضای نهایی اسپسارتین و گروسولار بیشتر و سهم عضو نهایی پیروپ تقریباً یکسان و سهم بقیه اعضا ناچیز است (جدول ۱). فرمول ساختاری گارنت محاسبه شده براساس ۱۲ اکسیژن و ۸ کاتیون در جدول ۱ آمده است. منطقه بندی شیمیایی در گارنت‌های نمون گارنت آمفیبولیت ( $\text{CH}_{1-15}$ ) تغییر و نوسان‌های کمی دارد، به طوری که کسرهای مولی از یک لبه به سوی لبه دیگر کم و یا زیاد می‌شوند (شکل ۴). عبارت دیگر می‌توان آن را الگویی مسطح در نظر گرفت که دستخوش ناهمگنی‌های محلی بوده است. پیروپ و  $\text{Fe}/(\text{Fe}+\text{Mg})$  به نسبت بدون منطقه بندی هستند. این که  $\text{Fe}/(\text{Fe}+\text{Mg})$  به شدت منطقه‌بندی ندارد نشان می‌دهد که تغییرات دما طی رشد گارنت کم بوده است [۲۷، ۲۸].

### آمفیبول

کاتیون‌های آمفیبول به ۲۳ اکسیژن و مجموع  $\text{M}_1+\text{M}_2+\text{M}_3=13$  (۱۳eCNK) بهنجار شده است که در مرجع [۲۹] توضیح داده شده است.  $\text{Fe}^{3+}$  به حالت بیشترین مقدار، بر اساس مرجع [۳۰] با استفاده از نرمافزار WinAmphcal [۱۷] محاسبه شد (جدول ۲). در شکل‌های IV الف و ب، منطقه‌بندی در آمفیبول براساس روندهای  $\text{Al}^{IV}$ - $\text{Al}^{VI}$  و  $\text{Al}^{IV}$ - $\text{Ti}^{VI}$  توضیح داده می‌شود، اما پارامتر شیمیایی  $\text{Si}^{VI}$  با افزایش  $\text{Al}^{\text{tot}}$  و  $\text{NaM}_4$  کاهش می‌یابد (شکل‌های ۵ پ و ت). همه داده‌های تجزیه نقطه‌ای براساس نامگذاری انجمن جهانی کانی‌شناسی (IMA) [۳۱-۳۳]، آمفیبول کلسیمی و زیرگروه فروهورنبلند تا فروچرماکیت و چرماکیت هستند (شکل ۶ و جدول ۲). آمفیبول‌ها دارای مجموع  $\text{Na}+\text{K}<0.09$  هستند. عبارت دیگر، تهیجاها جایگاه A بیش از ۰/۹۱ است (جدول ۲). فروچرماکیت در لبه آمفیبولی است که در کنار گارنت رشد کرده است. مقدار اعضای نهایی آمفیبول در جدول ۲ آمده است [۳۴] که نشان دهنده جایگزینی قابل ملاحظه عضو نهایی چرماکیت است.

جدول ۱ نتایج تجزیه نقطه‌ای گارنت و محاسبه فرمول ساختاری آن براساس روش مرجع [۲۵]. این محاسبات براساس ۸ کاتیون و ۱۲ آنیون  $\text{X}_3\text{Y}_2\text{Z}_3\text{O}_{12}$  بدون تهیجا X یا Y انجام شده است. محاسبه نسبت‌های آهن سه ظرفیتی و دو ظرفیتی بر اساس موازنۀ بار است.

برخی از آنها در راستای شیستوارگی ردیف شده‌اند. بلورهای این کانی گاهی اعوجاج (بلور خم شده‌ای که زاویه بین وجهه بلوری با شکل‌های معمولی آن تفاوت بسیاری دارد) نشان می‌دهند و گاهی بریدگی و شکستگی در طول و یا عرض آن نشان می‌دهد که به احتمال بسیار در معرض حرکت گسل‌های راستالغز و یا معکوس در منطقه بوده‌اند (شکل ۳ ت).

همچنین در آمفیبولیت‌ها، شکستگی‌های مزدوج دیده می‌شود که سپس توسط کوارتز و کلسیت پر شده‌اند. آمفیبول‌ها چند رنگی سبز کم رنگ تا پر رنگ نشان می‌دهند و در مقطع عرضی دو دسته رخ دارند. تیتانیت خودشکل است و برجستگی بسیاری دارد (شکل ۳ ث). پلازیوکلاز بسیار کوچک و دارای ماکل دگرشکلی است. اپیدوت با برجستگی بسیار و رنگ سبز پیشه‌ای شناخته می‌شود. به همراه اپیدوت، کانی‌های پلازیوکلاز و کلسیت دیده می‌شوند (شکل ۳ ج)، ولی گارنت در آن‌ها قابل مشاهده نیست. پلازیوکلاز در اپیدوت شیست‌ها بزرگ‌تر و دارای ماکل دگرشکلی است. کوارتز دارای خاموشی موجی و مرز بین دانه‌های آن خمیده و نامنظم است. بلورهای کوارتز در نقاط سه‌گانه زاویه ۱۲۰ درجه تشکیل نمی‌دهند، بنابراین انرژی سطحی کل در آن‌ها بالاست [۲۴]. بیوپیت کلریتی شده که گویای یک دگرگونی پسروندۀ است.

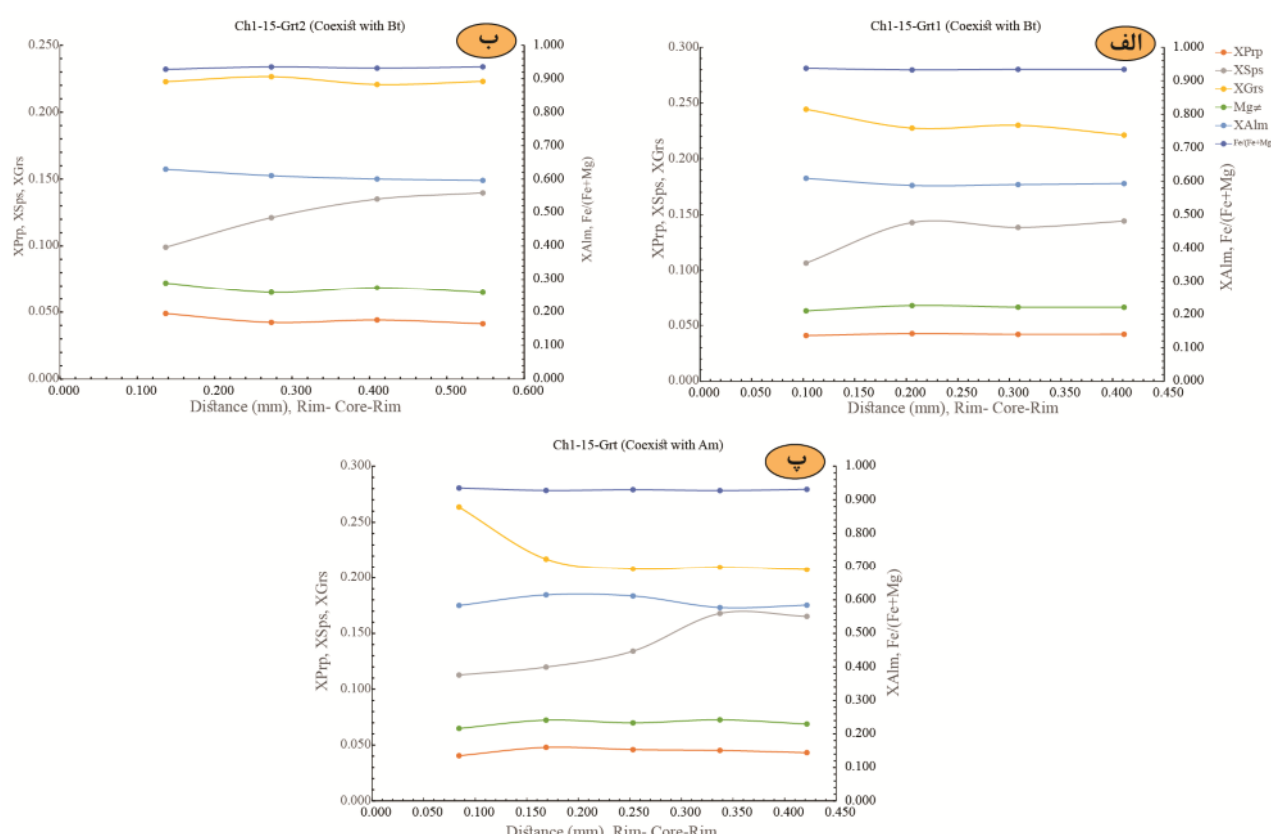
### شیمی کانی گارنت

گارنت با فرمول عمومی  $\text{X}_3\text{Y}_2\text{Z}_3\text{O}_{12}$  شناخته می‌شود. کاتیون‌های در جایگاه X شامل  $\text{Fe}^{2+}$ ,  $\text{Mn}^{2+}$ ,  $\text{Ca}$ ,  $\text{Mg}$ ,  $\text{Al}$ ,  $\text{Cr}$ ,  $\text{Fe}^{2+}$ ,  $\text{Fe}^{3+}$ ,  $\text{Mg}$ ,  $\text{Si}$  و  $\text{Ti}$  و کاتیون‌های در جایگاه Y شامل  $\text{Al}$  دربردارنده  $\text{Si}$  و  $\text{Al}$  هستند. در گارنت آمفیبولیت (نمونه  $\text{CH}_{1-15}$ ) مجموع کاتیون‌ها در جایگاه X برابر با  $apfu = ۳,۰۰۰ - ۲,۹۶۳۲$  و مجموع کاتیون‌ها در جایگاه Y نیز  $apfu = ۲,۰۳۶۸ - ۲,۰۰۰۰$  است. بنابراین این گارنت‌ها رفتاری آرمانی تا غیرآرمانی دارند. براساس داده‌های جدول ۱، اعضای نهایی گارنت در این نمونه متنوع و شامل Al-شورلومایت، اواروایت، اسپسارتین، پیروپ، آلماندین، گروسولار، آسدرادیت، موریموتايت و میجرایت

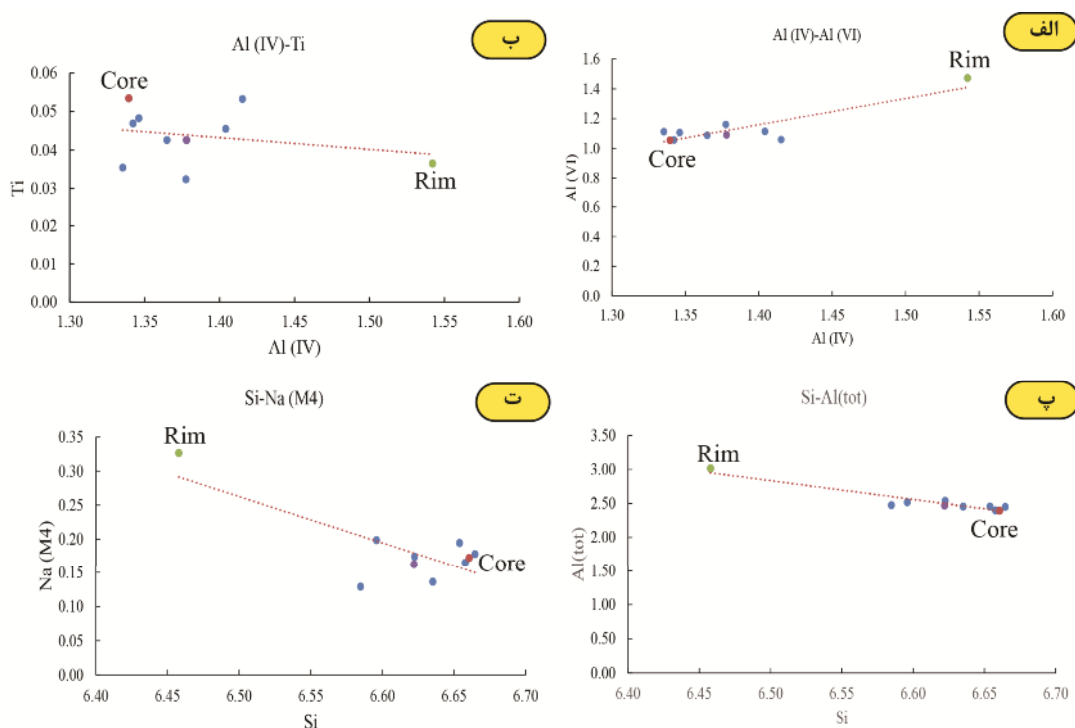
جدول ۱ نتایج تجزیه نقطه‌ای گارنت و محاسبه فرمول ساختاری آن براساس روش مرجع [۲۵]. این محاسبات براساس ۸ کاتیون و ۱۲ آنیون  $\text{X}_3\text{Y}_2\text{Z}_3\text{O}_{12}$  بدون تهیجا X یا Y انجام شده است. محاسبه نسبت‌های آهن سه ظرفیتی و دو ظرفیتی بر اساس موازنۀ بار است.

$\text{CH}_{1-15}$

Comment	همزیست با Am					همزیست با Bt					همزیست با Bt				
	لبه		مرکز		لبه	لبه	مرکز	مرکز	لبه	لبه	مرکز	مرکز	لبه	لبه	
No.	۱	۲	۳	۴	۵	۶	۷	۸	۹	۱۰	۱۱	۱۲	۱۳		
SiO <sub>2</sub>	۲۷۶۰۶	۲۷۰۱۹	۳۶۸۹۴	۳۶۶۷۹	۲۶۸۹۵	۲۶۸۷۶	۳۷۲۷۶	۳۶۸۶۳	۳۶۹۰۷	۳۶۸۶۲	۳۶۸۴۲	۳۶۸۸۵	۳۶۸۹۸		
TiO <sub>2</sub>	۰,۰۶۶	۰,۰۲۸	۰,۰۰۲	۰,۰۱۷	۰,۰۵۷	۰,۰۳۲	۰,۰۵۹	۰,۰۱۳	۰,۰۴۹	۰,۰۲۷	۰,۱۱۸	۰,۱۱۱	۰,۰۸۶		
Al <sub>2</sub> O <sub>3</sub>	۲۱۶۸۹	۲۱۳۵۸	۲۱۰۳۸	۲۰۶۴۲	۲۰۸۴۸	۲۰۶۸۸	۲۰۹۲۲	۲۰۶۶۷	۲۰۷۷۸	۲۰۶۸۸	۲۰۱۵۶	۲۰۰۵۶	۲۰۶۶۷		
Cr <sub>2</sub> O <sub>3</sub>	۰,۰۱۲	۰,۰۳۶	۰,۰۱۵	۰,۰۰۰	۰,۰۰۸	۰,۰۰۰	۰,۰۰۵	۰,۰۰۱	۰,۰۰۰	۰,۰۰۰	۰,۰۰۰	۰,۰۰۰	۰,۰۰۶	۰,۰۱۰	
FeO / FeO <sub>tot</sub>	۲۶۶۱۸	۲۷۶۲۴	۲۷۷۳۱	۲۶۹۴۰	۲۶۸۸۱	۲۸۲۳۱	۲۷۷۸۳	۲۷۳۹۲	۲۷۷۴۵	۲۷۷۴۱	۲۶۸۳۳	۲۶۴۴۹	۲۶۴۸۳		
Fe <sub>2</sub> O <sub>3</sub> / calc	۰,۰۰۰	۰,۰۰۰	۰,۰۰۰	۰,۰۰۰	۰,۰۰۰	۰,۰۰۰	۰,۰۰۰	۰,۰۰۰	۰,۰۰۰	۰,۰۰۰	۰,۰۰۰	۰,۰۰۰	۰,۰۰۰		
MnO	۰,۰۱۰	۰,۲۳۹	۰,۸۴۱	۰,۲۷۱	۰,۲۰۴	۰,۲۱۴	۰,۳۲۸	۰,۸۷۷	۰,۹۳	۴,۶۳۸	۶,۲۲۸	۶,۰۳۷	۶,۲۵۷		
(Mn <sub>2</sub> O <sub>3</sub> )	۰,۰۰۰	۰,۰۰۰	۰,۰۰۰	۰,۰۰۰	۰,۰۰۰	۰,۰۰۰	۰,۰۰۰	۰,۰۰۰	۰,۰۰۰	۰,۰۰۰	۰,۰۰۰	۰,۰۰۰	۰,۰۰۰		
MgO	۱,۰۲۲	۱,۱۹۱	۱,۱۳۷	۱,۱۱۲	۱,۰۷	۱,۲۱۰	۱,۰۷۱	۱,۰۹۱	۱,۰۲۳	۱,۰۰۹	۱,۰۵۵	۱,۰۳۵	۱,۰۳۴		
CaO	۹,۲۶۴	۷,۵۱	۷,۱۶۸	۷,۱۸۱	۷,۱۴۹	۷,۶۷۲	۷,۸۷۵	۷,۵۹۳	۷,۶۸۸	۸,۴۱۳	۷,۸۴۲	۷,۹۲۹	۷,۰۵۱		
Si(vi)	۰,۰۰۰	۰,۰۰۰	۰,۰۰۰	۰,۰۰۰	۰,۰۰۰	۰,۰۰۰	۰,۰۰۰	۰,۰۰۰	۰,۰۰۰	۰,۰۰۰	۰,۰۰۰	۰,۰۰۰	۰,۰۰۰		
Si(iv)	۲,۹۵۲	۲,۹۷۳	۲,۹۸۵	۲,۹۶۲	۲,۹۷۱	۲,۹۹۱	۳,۰۰۰	۲,۹۸۲	۲,۹۷۶	۲,۹۹۰	۲,۹۸۳	۲,۹۹۷	۲,۹۸۸		
Ti	۰,۰۰۴	۰,۰۰۲	۰,۰۰۰	۰,۰۰۱	۰,۰۰۳	۰,۰۰۲	۰,۰۰۴	۰,۰۰۱	۰,۰۰۳	۰,۰۰۲	۰,۰۰۷	۰,۰۰۷	۰,۰۰۵		
Al(iv)	۰,۰۲۷	۰,۰۲۷	۰,۰۱۵	۰,۰۳۸	۰,۰۲۹	۰,۰۰۹	۰,۰۰۰	۰,۰۱۸	۰,۰۲۴	۰,۰۱۰	۰,۰۱۷	۰,۰۰۳	۰,۰۱۲		
Al(vi)	۱,۹۹۴	۱,۹۹۵	۱,۹۹۱	۱,۹۲۷	۱,۹۴۹	۱,۹۶۸	۱,۹۸۶	۱,۹۵۳	۱,۹۵۰	۱,۹۶۷	۱,۹۴۱	۱,۹۶۵	۱,۹۷۱		
Cr	۰,۰۰۱	۰,۰۰۲	۰,۰۰۱	۰,۰۰۰	۰,۰۰۱	۰,۰۰۰	۰,۰۰۰	۰,۰۰۰	۰,۰۰۰	۰,۰۰۰	۰,۰۰۰	۰,۰۰۰	۰,۰۰۱		
Fe <sup>2+</sup> (vi)	۰,۰۰۰	۰,۰۰۰	۰,۰۰۰	۰,۰۰۰	۰,۰۰۰	۰,۰۰۰	۰,۰۰۰	۰,۰۰۰	۰,۰۰۰	۰,۰۰۰	۰,۰۰۰	۰,۰۰۰	۰,۰۰۰		
Fe <sub>2</sub> (dodecahedral)	۱,۷۳۷	۱,۸۳۰	۱,۸۲۶	۱,۷۱۱	۱,۷۳۸	۱,۸۸۳	۱,۸۳۰	۱,۷۹۱	۱,۷۷۵	۱,۸۲۰	۱,۷۶۵	۱,۷۶۹	۱,۷۷۴		
Fe <sub>3</sub> <sup>+</sup>	۰,۰۲۴	۰,۰۲۶	۰,۰۲۳	۰,۱۰۹	۰,۰۲۷	۰,۰۳۷	۰,۰۰۴	۰,۰۶۳	۰,۰۶۸	۰,۰۴۰	۰,۰۶۲	۰,۰۲۴	۰,۰۲۹		
Mn <sup>2+</sup>	۰,۳۳۶	۰,۳۵۶	۰,۴۰۰	۰,۴۹۷	۰,۴۹۱	۰,۲۹۶	۰,۳۶۳	۰,۴۰۳	۰,۴۱۶	۰,۳۱۹	۰,۴۲۷	۰,۴۱۵	۰,۴۳۲		
Mg(Vi)	۰,۰۰۰	۰,۰۰۰	۰,۰۰۰	۰,۰۰۰	۰,۰۰۰	۰,۰۰۰	۰,۰۰۰	۰,۰۰۰	۰,۰۰۰	۰,۰۰۰	۰,۰۰۰	۰,۰۰۰	۰,۰۰۰		
Mg(dodecahedral)	۰,۱۲۰	۰,۱۴۳	۰,۱۳۷	۰,۱۳۴	۰,۱۲۸	۰,۱۴۶	۰,۱۲۷	۰,۱۲۲	۰,۱۲۳	۰,۱۲۲	۰,۱۲۷	۰,۱۲۵	۰,۱۲۶		
Ca	۰,۷۸۵	۰,۶۴۶	۰,۶۲۱	۰,۶۲۱	۰,۶۱۷	۰,۶۶۷	۰,۶۷۹	۰,۶۵۸	۰,۶۶۴	۰,۷۳۱	۰,۶۸۰	۰,۶۹۰	۰,۶۹۲		
Na	۰,۰۰۰	۰,۰۰۰	۰,۰۰۰	۰,۰۰۰	۰,۰۰۰	۰,۰۰۰	۰,۰۰۰	۰,۰۰۰	۰,۰۰۰	۰,۰۰۰	۰,۰۰۰	۰,۰۰۰	۰,۰۰۰		
بیوواروت {Ca <sub>3</sub> } Cr <sub>2</sub> (Si <sub>3</sub> )O <sub>12</sub>	٪ ۰,۰۴	٪ ۰,۱۱	٪ ۰,۰۵	--	٪ ۰,۰۳	--	٪ ۰,۰۲	٪ ۰,۰۰	--	--	--	--	٪ ۰,۰۲	٪ ۰,۰۳	
اسپسارتین [Mn <sub>3</sub> ] Al <sub>2</sub> (Si <sub>3</sub> )O <sub>12</sub>	٪ ۱۱,۱۸	٪ ۱۱,۸۸	٪ ۱۳,۳۴	٪ ۱۶,۵۸	٪ ۱۶,۳۸	٪ ۹,۸۸	٪ ۱۲,۱۱	٪ ۱۳,۴۲	٪ ۱۳,۸۷	٪ ۱۰,۶۲	٪ ۱۴,۲۴	٪ ۱۳,۸۵	٪ ۱۴,۳۸		
پیروپ {Mg <sub>3</sub> } Al <sub>2</sub> (Si <sub>3</sub> )O <sub>12</sub>	٪ ۴,۰۲	٪ ۴,۷۵	٪ ۴,۵۷	٪ ۴,۴۶	٪ ۴,۲۸	٪ ۴,۸۸	٪ ۴,۰۶	٪ ۴,۳۹	٪ ۴,۱۰	٪ ۴,۰۷	٪ ۴,۲۵	٪ ۴,۱۸	٪ ۴,۱۸		
الماندین [Fe <sub>3</sub> ] Al <sub>2</sub> (Si <sub>3</sub> )O <sub>12</sub>	٪ ۷۵,۸۸	٪ ۶۰,۹۹	٪ ۶۰,۸۸	٪ ۵۷,۰۲	٪ ۵۷,۹۲	٪ ۶۲,۷۸	٪ ۶۱,۰۱	٪ ۵۹,۶۹	٪ ۵۹,۱۸	٪ ۶۰,۶۶	٪ ۵۸,۵۲	٪ ۵۸,۹۷	٪ ۵۹,۱۴		
گروسوپلر [Ca <sub>3</sub> ] Al <sub>2</sub> (Si <sub>3</sub> )O <sub>12</sub>	٪ ۲۵,۹۳	٪ ۲۱,۳۴	٪ ۲۰,۶۶	٪ ۱۸,۲۸	٪ ۱۸,۸۸	٪ ۲۰,۸۷	٪ ۲۲,۱۰	٪ ۲۰,۱۶	٪ ۲۰,۳۵	٪ ۲۳,۰۲	٪ ۲۰,۰۲	٪ ۲۱,۲۸	٪ ۲۰,۰۸		
آندرادیت [Ca <sub>3</sub> ] Fe <sub>2</sub> (Si <sub>3</sub> )O <sub>12</sub>	--	--	--	٪ ۲۳۸	٪ ۱۴۸	٪ ۱۲۵	٪ ۰,۱۸	٪ ۱,۷۴	٪ ۱,۶۴	٪ ۲۰,۳۰	٪ ۱,۲۰	٪ ۰,۹۱			
اسکورولومیت Al[Ca <sub>3</sub> ] Ti <sub>2</sub> (SiAl <sub>2</sub> )O <sub>12</sub>	٪ ۰,۲۰	٪ ۰,۰۸	٪ ۰,۰۱	٪ ۰,۰۵	٪ ۰,۰۱۷	٪ ۰,۱۰	--	٪ ۰,۰۴	٪ ۰,۱۵	٪ ۰,۰۱۸	٪ ۰,۳۶	٪ ۰,۱۶	٪ ۰,۲۶		
موریموتوئید [Mg <sub>3</sub> ] SiMg(Si <sub>3</sub> )O <sub>12</sub>	--	--	--	--	--	--	٪ ۰,۳۶	--	--	--	--	٪ ۰,۳۵	--		
ماژوریت	--	--	--	--	--	--	٪ ۰,۱۷	--	--	--	--	--	--		
XAlm	۰,۵۸۳	۰,۸۱۵	۰,۶۱۲	۰,۵۷۷	۰,۵۸۴	۰,۶۲۹	۰,۶۱۰	۰,۶۰۰	۰,۵۹۶	۰,۶۰۸	۰,۵۸۷	۰,۵۹۰	۰,۵۹۳		
XPrp	۰,۰۴۰	۰,۰۴۸	۰,۰۴۶	۰,۰۴۵	۰,۰۴۳	۰,۰۴۹	۰,۰۴۲	۰,۰۴۴	۰,۰۴۱	۰,۰۴۱	۰,۰۴۳	۰,۰۴۲	۰,۰۴۲		
XSpS	۰,۱۱۳	۰,۱۲۰	۰,۱۳۴	۰,۱۶۸	۰,۱۶۵	۰,۰۹۹	۰,۱۲۱	۰,۱۳۵	۰,۱۴۰	۰,۱۰۷	۰,۱۴۳	۰,۱۳۸	۰,۱۴۴		
XGrs	۰,۲۶۴	۰,۲۱۷	۰,۲۰۸	۰,۲۱۰	۰,۲۰۷	۰,۲۲۳	۰,۲۲۶	۰,۲۲۱	۰,۲۲۳	۰,۲۴۴	۰,۲۲۸	۰,۲۳۰	۰,۲۲۱		
Fe(Fe+Mg)	۰,۹۳۵	۰,۹۲۸	۰,۹۳۰	۰,۹۲۷	۰,۹۳۱	۰,۹۲۸	۰,۹۳۵	۰,۹۳۲	۰,۹۳۵	۰,۹۳۷	۰,۹۳۲	۰,۹۳۴	۰,۹۳۴		
Mg ≠	۰,۰۶۵	۰,۰۷۲	۰,۰۷۰	۰,۰۷۳	۰,۰۶۹	۰,۰۷۲	۰,۰۶۵	۰,۰۶۸	۰,۰۶۵	۰,۰۶۸	۰,۰۶۸	۰,۰۶۶	۰,۰۶۶		
آرمائی بودن	غیرآرمائی	غیرآرمائی	غیرآرمائی	غیرآرمائی	غیرآرمائی	غیرآرمائی	آرمائی	غیرآرمائی	غیرآرمائی	غیرآرمائی	غیرآرمائی	آرمائی	غیرآرمائی		



شکل ۴ نیمرخ گارنت در نمونه گارنت آمفیبولیت (Ch<sub>1-15</sub>) در الف و ب) گارناتهایی که همزیست با بیوتیت هستند و پ) گارنتی که همزیست با آمفیبول کلسیمی است.



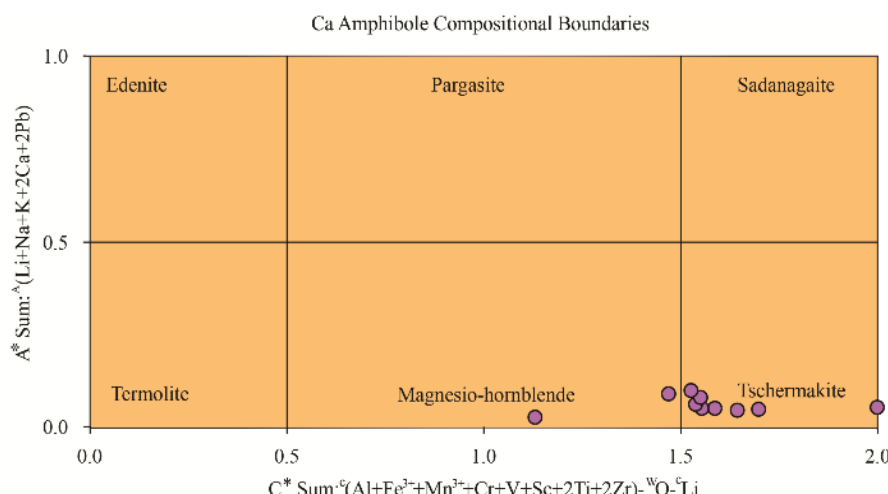
شکل ۵ نمودارهای الف و ب) منطقه‌بندی شیمیایی در آمفیبول از مرکز به لبه را نشان می‌دهند. پ و ت) نمودارهای (DOR: 20.1001.1.17263689.1399.28.4.1.7] [ DOI: 10.52547/ijcm.28.4.809 ]  
که براساس آنها با افزایش Si مقدار Na<sub>(M4)</sub> و Al<sup>tot</sup> کاهش می‌یابد (مقادیر بر حسب apfu است).

**جدول ۲** نتایج تجزیه نقطه‌ای آمفیبول که محاسبه فرمول ساختاری آن براساس 13eCNK و با استفاده از روش مرجع [۲۹] انجام شده است  
ردبندی و فعالیت اعضاینهای آن.

شماره نمونه	۱۱	۱۲	۱۳	۱۴	۱۵	۱۶	۱۷	۱۸	۱۹	۲۰
[SiO <sub>2</sub> ]	۴۲۶۶	۴۲۶۳	۴۲۲۱	۴۲۸۶	۴۳۸۱	۴۳۸۲	۴۳۸۹	۴۴۰۳	۴۴۵۴	۴۳۹۱
TiO <sub>2</sub>	۰.۳۳	۰.۴۷	۰.۴۷	۰.۳۱	۰.۲۹	۰.۴۰	۰.۳۷	۰.۴۳	۰.۴۱	۰.۴۳
Al <sub>2</sub> O <sub>3</sub>	۱۷.۲۹	۱۲.۲۱	۱۳.۷۷	۱۲.۷۶	۱۴.۲۵	۱۴.۱۹	۱۳.۷۶	۱۲.۷۷	۱۲.۳۱	۱۳.۷۷
FeO(Total)	۱۷.۵۹	۱۹.۵۷	۱۹.۴۶	۱۹.۶۹	۱۹.۵۱	۲۰.۰۳	۱۹.۹۵	۱۹.۴۴	۱۹.۸۳	۱۹.۵۰
MnO	۰.۲۹	۰.۳۱	۰.۳۱	۰.۲۳	۰.۲۲	۰.۲۶	۰.۲۰	۰.۲۳	۰.۲۹	۰.۲۶
MgO	۶.۷۶	۶.۵۴	۶.۵۴	۶.۵۶	۶.۵۷	۶.۲۵	۶.۳۱	۶.۶۴	۶.۴۳	۶.۵۶
CaO	۱۰.۳۰	۱۱.۱۷	۱۱.۴۸	۱۱.۱۱	۱۱.۱۷	۱۱.۱۲	۱۱.۲۶	۱۱.۱۴	۱۱.۱۷	۱۱.۵۸
Na <sub>2</sub> O	۰.۸۲	۰.۷۰	۰.۶۴	۰.۵۴	۰.۵۰	۰.۸۷	۰.۶۸	۰.۷۳	۰.۶۶	۰.۶۳
K <sub>2</sub> O	۰.۲۸	۰.۲۶	۰.۲۸	۰.۲۴	۰.۲۵	۰.۲۱	۰.۳۰	۰.۲۶	۰.۲۶	۰.۲۳
F	۰.۰۵	۰.۰۲	۰.۱۴	۰.۱۴	۰.۰۰	۰.۱۸	۰.۱۱	۰.۰۵	۰.۱۶	۰.۱۶
Cl	۰.۰۴	۰.۰۱	۰.۰۱	۰.۰۲	۰.۰۰	۰.۰۰	۰.۰۰	۰.۰۰	۰.۰۰	۰.۰۰
O=F,Cl	۰.۰۳	۰.۰۱	۰.۰۶	۰.۰۶	۰.۰۰	۰.۰۷	۰.۰۵	۰.۰۲	۰.۰۷	۰.۰۷
مجموع(wt%)a	۹۷.۴۸	۹۵.۷	۹۶.۲۸	۹۶.۳۰	۹۶.۵۸	۹۷.۶۳	۹۶.۳۹	۹۶.۶۷	۹۵.۹۸	۹۶.۹۱
[Si]	۶.۴۶	۶.۶۶	۶.۵۸	۶.۶۶	۶.۶۲	۶.۶۰	۶.۶۲	۶.۶۵	۶.۶۶	۶.۶۹
Ti	۰.۰۴	۰.۰۵	۰.۰۵	۰.۰۴	۰.۰۵	۰.۰۴	۰.۰۴	۰.۰۵	۰.۰۴	۰.۰۴
Al	۲.۰۱	۲.۲۹	۲.۴۷	۲.۴۵	۲.۵۲	۲.۴۷	۲.۴۵	۲.۴۰	۲.۴۰	۲.۲۸
Fe <sup>2+</sup>	۲.۲۱	۲.۵۰	۲.۴۸	۲.۵۱	۲.۴۷	۲.۵۶	۲.۵۵	۲.۴۷	۲.۵۴	۲.۴۷
Mn	۰.۰۴	۰.۰۴	۰.۰۴	۰.۰۳	۰.۰۳	۰.۰۳	۰.۰۳	۰.۰۳	۰.۰۴	۰.۰۴
Mg	۱.۴۹	۱.۴۹	۱.۵۰	۱.۴۹	۱.۴۸	۱.۴۰	۱.۴۳	۱.۴۰	۱.۴۷	۱.۴۸
Ca	۱.۸۳	۱.۸۳	۱.۸۷	۱.۸۱	۱.۸۱	۱.۷۹	۱.۸۴	۱.۸۰	۱.۸۳	۱.۸۸
Na	۰.۲۲	۰.۲۱	۰.۱۹	۰.۱۶	۰.۱۵	۰.۲۵	۰.۲۰	۰.۲۱	۰.۱۹	۰.۱۹
K	۰.۰۵	۰.۰۵	۰.۰۶	۰.۰۵	۰.۰۵	۰.۰۶	۰.۰۵	۰.۰۵	۰.۰۵	۰.۰۴
مجموع(apfu)a	۱۵.۱۶	۱۵.۲۲	۱۵.۲۵	۱۵.۱۸	۱۵.۱۸	۱۵.۲۷	۱۵.۲۴	۱۵.۲۱	۱۵.۲۲	۱۵.۲۱
[Si]	۶.۴۶	۶.۶۶	۶.۵۸	۶.۶۶	۶.۶۲	۶.۶۰	۶.۶۲	۶.۶۵	۶.۶۶	۶.۶۹
Al(IV)	۱.۵۴	۱.۲۴	۱.۴۲	۱.۳۴	۱.۳۸	۱.۴۰	۱.۳۸	۱.۳۵	۱.۳۴	۱.۳۶
مجموع(apfu)[T-site(a)]	۸.۰	۸.۰	۸.۰	۸.۰	۸.۰	۸.۰	۸.۰	۸.۰	۸.۰	۸.۰
[Al(VI)]	۱.۴۷	۱.۰۵	۱.۰۶	۱.۱۱	۱.۱۶	۱.۱۱	۱.۰۹	۱.۱۱	۱.۰۸	۱.۰۹
Ti	۰.۰۴	۰.۰۵	۰.۰۵	۰.۰۴	۰.۰۳	۰.۰۵	۰.۰۴	۰.۰۵	۰.۰۵	۰.۰۴
Mg	۱.۴۹	۱.۴۹	۱.۵۰	۱.۴۹	۱.۴۸	۱.۴۰	۱.۴۳	۱.۵۰	۱.۴۷	۱.۴۸
Fe <sup>2+</sup>	۲.۰	۲.۴۰	۲.۳۹	۲.۳۷	۲.۳۳	۲.۴۴	۲.۴۳	۲.۳۵	۲.۴۳	۲.۳۹
Mn	۰.۰۰	۰.۰۰	۰.۰۰	۰.۰۰	۰.۰۰	۰.۰۰	۰.۰۰	۰.۰۰	۰.۰۰	۰.۰۰
مجموع(apfu)[C-site(a)]	۰.۰	۰.۰	۰.۰	۰.۰	۰.۰	۰.۰	۰.۰	۰.۰	۰.۰	۰.۰
[Mn]	۰.۰۴	۰.۰۴	۰.۰۴	۰.۰۳	۰.۰۳	۰.۰۳	۰.۰۳	۰.۰۳	۰.۰۴	۰.۰۴
Fe <sup>2+</sup>	۰.۲۱	۰.۱۰	۰.۱۹	۰.۱ۮ	۰.۱۴	۰.۱۳	۰.۱۱	۰.۱۲	۰.۱۱	۰.۱۰
Ca	۱.۸۳	۱.۸۳	۱.۸۷	۱.۸۱	۱.۸۱	۱.۷۹	۱.۸۴	۱.۸۰	۱.۸۳	۱.۸۸
Na	۰.۱۲	۰.۱۳	۰.۱۴	۰.۱۲	۰.۱۲	۰.۱۰	۰.۱۲	۰.۱۰	۰.۱۲	۰.۱۲
Total(apfu)[B-site(a)]	۷.۰	۷.۰	۷.۰	۷.۰	۷.۰	۷.۰	۷.۰	۷.۰	۷.۰	۷.۰
[Na]	۰.۱۱	۰.۱۷	۰.۱۹	۰.۱۴	۰.۱۳	۰.۲۱	۰.۱۸	۰.۱۶	۰.۱۷	۰.۱۷
K	۰.۰۵	۰.۰۵	۰.۰۶	۰.۰۵	۰.۰۵	۰.۰۶	۰.۰۶	۰.۰۵	۰.۰۴	۰.۰۴
Total(apfu)[A-site(a)]	۰.۱۶	۰.۲۲	۰.۲۵	۰.۱۸	۰.۱۸	۰.۱۸	۰.۲۷	۰.۲۴	۰.۲۲	۰.۲۱
[F]	۰.۰۲	۰.۰۱	۰.۰۷	۰.۰۶	۰.۰۰	۰.۰۸	۰.۰۵	۰.۰۲	۰.۰۸	۰.۰۷
Cl	۰.۰۱	۰.۰۰	۰.۰۰	۰.۰۰	۰.۰۰	۰.۰۰	۰.۰۰	۰.۰۰	۰.۰۰	۰.۰۰
OH	۱.۹۷	۱.۹۷	۱.۹۳	۱.۹۳	۱.۹۳	۱.۹۲	۱.۹۵	۱.۹۸	۱.۹۳	۱.۹۳
Total[OH-site(a)]	۲.۰	۲.۰	۲.۰	۲.۰	۲.۰	۲.۰	۲.۰	۲.۰	۲.۰	۲.۰
[Si]	۶.۳۸	۶.۶۰	۶.۵۳	۶.۶۰	۶.۵۵	۶.۵۳	۶.۵۶	۶.۵۶	۶.۶۰	۶.۵۸
Al(IV)	۱.۶۲	۱.۴۰	۱.۴۷	۱.۴۰	۱.۴۵	۱.۴۷	۱.۴۴	۱.۴۱	۱.۴۰	۱.۴۲
Total(apfu)[T-site(a)]	۸.۰	۸.۰	۸.۰	۸.۰	۸.۰	۸.۰	۸.۰	۸.۰	۸.۰	۸.۰
[Al(VI)]	۱.۳۶	۰.۹۷	۰.۹۸	۱.۰۲	۱.۰۷	۱.۰۳	۱.۰۱	۱.۰۲	۰.۹۷	۱.۰۲
Ti	۰.۰۴	۰.۰۵	۰.۰۵	۰.۰۴	۰.۰۴	۰.۰۵	۰.۰۴	۰.۰۵	۰.۰۴	۰.۰۴
Fe <sup>3+</sup>	۰.۵۶	۰.۴۱	۰.۴۱	۰.۴۶	۰.۴۷	۰.۴۴	۰.۴۱	۰.۴۱	۰.۴۲	۰.۴۶
Mg	۱.۴۷	۱.۴۷	۱.۴۸	۱.۴۷	۱.۴۷	۱.۳۹	۱.۴۲	۱.۴۸	۱.۴۵	۱.۴۷
Mn	۰.۰۴	۰.۰۴	۰.۰۴	۰.۰۴	۰.۰۴	۰.۰۴	۰.۰۳	۰.۰۴	۰.۰۴	۰.۰۴
Fe <sup>2+</sup>	۱.۵۴	۲.۰	۲.۰۴	۱.۹۸	۱.۹۴	۲.۰۷	۲.۰۹	۲.۰۰	۲.۰۶	۲.۰۶
Total(apfu)[M1,2,3-sites(a)]	۰.۰	۰.۰	۰.۰	۰.۰	۰.۰	۰.۰	۰.۰	۰.۰	۰.۰	۰.۰
[Fe <sup>2+</sup> ]	۰.۶	۰.۰	۰.۰	۰.۰	۰.۰	۰.۰	۰.۰	۰.۰	۰.۰	۰.۰
Ca	۱.۸۱	۱.۸۱	۱.۸۶	۱.۷۹	۱.۷۹	۱.۷۸	۱.۸۲	۱.۷۹	۱.۸۱	۱.۸۶
Na	۰.۳۳	۰.۱۷	۰.۱۳	۰.۱۸	۰.۱۷	۰.۲۰	۰.۱۶	۰.۱۹	۰.۱۷	۰.۱۶
Total(apfu)[M4-site(a)]	۲.۰	۲.۰	۲.۰	۲.۰	۲.۰	۲.۰	۲.۰	۲.۰	۲.۰	۲.۰
[Na]	۰.۰	۰.۰	۰.۰	۰.۰	۰.۰	۰.۰	۰.۰	۰.۰	۰.۰	۰.۰
K	۰.۰۵	۰.۰۵	۰.۰۵	۰.۰۵	۰.۰۵	۰.۰۶	۰.۰۵	۰.۰۵	۰.۰۴	۰.۰۴
Total(apfu)[A-site(a)]	۰.۰۵	۰.۰۸	۰.۱۱	۰.۰۵	۰.۰۵	۰.۱۱	۰.۱۰	۰.۰۷	۰.۰۸	۰.۰۹
[F]	۰.۰۲	۰.۰۱	۰.۰۷	۰.۰۶	۰.۰۰	۰.۰۸	۰.۰۵	۰.۰۲	۰.۰۸	۰.۰۷
Cl	۰.۰۱	۰.۰۰	۰.۰۰	۰.۰۰	۰.۰۰	۰.۰۰	۰.۰۰	۰.۰۰	۰.۰۰	۰.۰۰
OH	۱.۹۷	۱.۹۹	۱.۹۳	۱.۹۳	۱.۹۳	۱.۹۲	۱.۹۵	۱.۹۸	۱.۹۲	۱.۹۳
Total[OH-site(a)]	۲.۰	۲.۰	۲.۰	۲.۰	۲.۰	۲.۰	۲.۰	۲.۰	۲.۰	۲.۰
[Total Cations](a)	۱۵.۰۵	۱۵.۰۸	۱۵.۱۱	۱۵.۰۵	۱۵.۰۵	۱۵.۱۱	۱۵.۰	۱۵.۰۷	۱۵.۰۸	۱۵.۰۹
[Fe <sub>2</sub> O <sub>3</sub> (calc)]	۵.۱۲	۳.۵۸	۳.۵۶	۴.۰۹	۴.۱۸	۳.۸۹	۳.۸	۳.۶۸	۳.۷۴	۳.۷
FeO(calc)	۱۳.۷۹	۱۶۷۴	۱۶۲۵	۱۶۰۱	۱۵۷۰	۱۶۰	۱۶۷۱	۱۶۱۳	۱۶۴۷	۱۶۹۱
H <sub>2</sub> O(calc)	۲.۰	۱.۹۵	۱.۹	۱.۹	۱.۹۸	۱.۹۱	۱.۹۲	۱.۹۶	۱.۸۹	۱.۹۱
Total](a)	۹۹.۹۸	۹۸.۲۸	۹۸.۵۴	۹۸.۶۲	۹۸.۹۸	۹۹.۹۲	۹۸.۶۷	۹۹.۰	۹۸.۲۵	۹۹.۱۴
[Cation Charge](a)	۴۶.۹	۴۷.۰	۴۷.۰	۴۷.۰	۴۷.۰	۴۶.۰	۴۶.۰	۴۶.۰	۴۶.۰	۴۶.۰
[Si]	۶.۴۶	۶.۶۶	۶.۵۸	۶.۶۶	۶.۶۲	۶.۶۰	۶.۶۲	۶.۶۵	۶.۶۶	۶.۶۹
Al(IV)	۱.۵۴	۱.۲۴	۱.۴۲	۱.۳۸	۱.۳۸	۱.۴	۱.۳۸	۱.۳۵	۱.۳۴	۱.۳۶
Total(apfu)[T-site(a)]	۸.۰	۸.۰	۸.۰	۸.۰	۸.۰	۸.۰	۸.۰	۸.۰	۸.۰	۸.۰
[Al(VI)]	۱.۴۷	۱.۰۵	۱.۰۶	۱.۱۱	۱.۱۶	۱.۱۱	۱.۰۹	۱.۱۱	۱.۰۸	۱.۰۹

ادامه جدول ۲ نتایج تجزیه نقطه‌ای آمفیبول، محاسبه فرمول ساختاری، رده‌بندی و فعالیت اعضای نهایی آن.

Sample No	۱۱	۱۲	۱۳	۱۴	۱۵	۱۶	۱۷	۱۸	۱۹	۲۰	
Ti	-۰,۰۴	-۰,۰۵	-۰,۰۵	-۰,۰۴	-۰,۰۳	-۰,۰۵	-۰,۰۴	-۰,۰۵	-۰,۰۵	-۰,۰۴	
Mg	۱,۴۹	۱,۴۹	۱,۵۰	۱,۴۹	۱,۴۸	۱,۴۰	۱,۴۳	۱,۵۰	۱,۴۷	۱,۴۸	
Fe <sup>2+</sup>	۲,۰۰	۲,۴۰	۲,۳۹	۲,۳۷	۲,۳۳	۲,۴۴	۲,۴۳	۲,۳۵	۲,۴۳	۲,۳۹	
Total(apfu)[C] -site(a)	۵,۰۰	۵,۰۰	۵,۰۰	۵,۰۰	۵,۰۰	۵,۰۰	۵,۰۰	۵,۰۰	۵,۰۰	۵,۰۰	
[FM	-۰,۲۲	-۰,۱۳	-۰,۱۳	-۰,۱۶	-۰,۱۷	-۰,۱۵	-۰,۱۳	-۰,۱۴	-۰,۱۴	-۰,۱۱	
Ca	۱,۶۳	۱,۸۳	۱,۸۷	۱,۸۱	۱,۸۱	۱,۷۹	۱,۸۴	۱,۸۰	۱,۸۳	۱,۸۸	
Na	-۰,۱۴	-۰,۰۴	-۰,۰۰	-۰,۰۳	-۰,۰۲	-۰,۰۶	-۰,۰۳	-۰,۰۶	-۰,۰۳	-۰,۰۲	
Total(apfu)[B] -site(a)	۲,۰۰	۲,۰۰	۲,۰۰	۲,۰۰	۲,۰۰	۲,۰۰	۲,۰۰	۲,۰۰	۲,۰۰	۲,۰۰	
Na	-۰,۹	-۰,۱۷	-۰,۱۹	-۰,۱۳	-۰,۱۲	-۰,۲۰	-۰,۱۷	-۰,۱۵	-۰,۱۷	-۰,۱۷	
K	-۰,۵	-۰,۰۵	-۰,۰۶	-۰,۰۵	-۰,۰۵	-۰,۰۶	-۰,۰۶	-۰,۰۵	-۰,۰۵	-۰,۰۴	
Total(apfu)[A] -site(a)	-۰,۱۴	-۰,۲۲	-۰,۲۴	-۰,۱۸	-۰,۱۷	-۰,۲۶	-۰,۲۳	-۰,۲۰	-۰,۲۲	-۰,۲۱	
[Amphibole Groups]	Calic amphibole	Calic amphibole	Calic amphibole	Calic amphibole	Calic amphibole	Calic amphibole	Calic amphibole	Calic amphibole	Calic amphibole	Calic amphibole	
[Calcic Amphibole Names]	Ferrotschermakite	Ferrohornblende	Ferrohornblende	Ferrohornblende	Ferrohornblende	Ferrohornblende	Ferrohornblende	Ferrohornblende	Ferrohornblende	Ferrohornblende	
Species (Locock, 2012)	tschermakite	ferro-tschermakite	ferro-tschermakite	ferro-tschermakite	ferro-tschermakite	ferro-hornblende	ferro-tschermakite	ferro-tschermakite	ferro-tschermakite	ferro-hornblende	
Formula (Locock, 2012)	(K <sub>0.052</sub> Σ0.052 (Ca <sub>1.605</sub> Na <sub>0.231</sub> )Σ 1.836 (Mg <sub>1.466</sub> Feii <sub>0.375</sub> Al <sub>1.31</sub> Feiii <sub>0.777</sub> Ti <sub>0.036</sub> Mn <sub>0.036</sub> Mn <sub>0.036</sub> )Σ (Si <sub>6.347</sub> Al <sub>1.653</sub> )Σ O22 ((OH) <sub>1.967</sub> F <sub>0.023</sub> C <sub>0.01</sub> )Σ 10.01)Σ <sub>22</sub>	(K <sub>0.051</sub> Na <sub>0.012</sub> )Σ0.0 (Ca <sub>1.808</sub> Na <sub>0.192</sub> )Σ <sub>2</sub> (Feii <sub>2</sub> Mg <sub>1.472</sub> Al <sub>0.96</sub> Feiii <sub>0.472</sub> Al <sub>0.053</sub> Mn <sub>0.044</sub> Σ Al <sub>0.97</sub> Feiii <sub>0.451</sub> Ti <sub>0.053</sub> Mn <sub>0.029</sub> )Σ (Si <sub>6.591</sub> Al <sub>1.409</sub> )Σ O22 ((OH) <sub>1.986</sub> F <sub>0.011</sub> C <sub>0.003</sub> )Σ 10.002)Σ <sub>2</sub>	(K <sub>0.054</sub> Na <sub>0.043</sub> )Σ 0.097 (Ca <sub>1.856</sub> Na <sub>0.144</sub> )Σ <sub>2</sub> Feii <sub>2</sub> .005Mg <sub>1.482</sub> Feiii <sub>0.472</sub> Al <sub>0.053</sub> Mn <sub>0.044</sub> Σ Al <sub>0.97</sub> Feiii <sub>0.451</sub> Al <sub>0.053</sub> Mn <sub>0.029</sub> )Σ (Si <sub>6.521</sub> Al <sub>1.48</sub> )Σ O22 ((OH) <sub>1.934</sub> F <sub>0.064</sub> C <sub>0.005</sub> )Σ 10.002)Σ <sub>2</sub>	(K <sub>0.046</sub> Σ0.046 (Ca <sub>1.785</sub> Na <sub>0.158</sub> )Σ 1.943 Feii <sub>1</sub> .895Mg <sub>1.467</sub> Feiii <sub>1</sub> .843Mg <sub>1.462</sub> Al <sub>1.0</sub> Al <sub>0.998</sub> Feiii <sub>0.468</sub> Al <sub>0.042</sub> Mnii <sub>0.029</sub> Mn <sub>0.029</sub> )Σ (Si <sub>6.537</sub> Al <sub>1.463</sub> )Σ O22 ((OH) <sub>1.931</sub> F <sub>0.064</sub> C <sub>0.005</sub> )Σ 10.002)Σ <sub>2</sub>	(K <sub>0.047</sub> Σ0.047 (Ca <sub>1.787</sub> Na <sub>0.145</sub> )Σ 1.943 Feii <sub>1</sub> .895Mg <sub>1.467</sub> Feiii <sub>1</sub> .843Mg <sub>1.462</sub> Al <sub>1.0</sub> Al <sub>0.998</sub> Feiii <sub>0.468</sub> Al <sub>0.042</sub> Mnii <sub>0.029</sub> Mn <sub>0.029</sub> )Σ (Si <sub>6.537</sub> Al <sub>1.463</sub> )Σ O22 ((OH) <sub>1.930</sub> F <sub>0.064</sub> C <sub>0.005</sub> )Σ 10.002)Σ <sub>2</sub>	(K <sub>0.026</sub> Σ0.026 (Ca <sub>1.775</sub> Na <sub>0.11</sub> )Σ 0.887 Feii <sub>1</sub> .107Al <sub>1.09</sub> Feiii <sub>2</sub> .047Mg <sub>1.419</sub> Al <sub>0.10</sub> Al <sub>0.97</sub> Feiii <sub>0.592</sub> Al <sub>0.032</sub> Mnii <sub>0.015</sub> Mn <sub>0.022</sub> )Σ (Si <sub>6.397</sub> Al <sub>1.293</sub> )Σ O22 ((OH) <sub>1.930</sub> F <sub>0.064</sub> C <sub>0.005</sub> )Σ 10.002)Σ <sub>2</sub>	(K <sub>0.026</sub> Σ0.026 (Ca <sub>1.775</sub> Na <sub>0.11</sub> )Σ 0.887 Feii <sub>1</sub> .107Al <sub>1.09</sub> Feiii <sub>2</sub> .047Mg <sub>1.419</sub> Al <sub>0.10</sub> Al <sub>0.97</sub> Feiii <sub>0.592</sub> Al <sub>0.032</sub> Mnii <sub>0.015</sub> Mn <sub>0.022</sub> )Σ (Si <sub>6.397</sub> Al <sub>1.293</sub> )Σ O22 ((OH) <sub>1.930</sub> F <sub>0.064</sub> C <sub>0.005</sub> )Σ 10.002)Σ <sub>2</sub>	(K <sub>0.049</sub> Σ0.049 (Ca <sub>1.784</sub> Na <sub>0.211</sub> )Σ 1.95 Feii <sub>1</sub> .819Na <sub>0.181</sub> )Σ 2.22 Feii <sub>1</sub> .027Mg <sub>1.419</sub> Al <sub>0.10</sub> Al <sub>0.97</sub> Feiii <sub>0.481</sub> Al <sub>0.048</sub> Mn <sub>0.037</sub> )Σ Mnii <sub>0.025</sub> Mn <sub>0.001</sub> )Σ 0.029Ni <sub>0.002</sub> Σ 0.001)Σ (Si <sub>6.585</sub> Al <sub>1.415</sub> )Σ E8 ((OH) <sub>1.924</sub> F <sub>0.075</sub> C <sub>0.001</sub> )Σ 1.22	(K <sub>0.049</sub> Na <sub>0.002</sub> Σ (Ca <sub>1.784</sub> Na <sub>0.211</sub> )Σ 1.95 Feii <sub>1</sub> .819Na <sub>0.181</sub> )Σ 2.22 Feii <sub>1</sub> .027Mg <sub>1.419</sub> Al <sub>0.10</sub> Al <sub>0.97</sub> Feiii <sub>0.481</sub> Al <sub>0.048</sub> Mn <sub>0.037</sub> )Σ Mnii <sub>0.025</sub> Mn <sub>0.001</sub> )Σ 0.029Ni <sub>0.002</sub> Σ 0.001)Σ (Si <sub>6.585</sub> Al <sub>1.415</sub> )Σ E8 ((OH) <sub>1.924</sub> F <sub>0.075</sub> C <sub>0.001</sub> )Σ 1.22	(K <sub>0.049</sub> Na <sub>0.002</sub> Σ (Ca <sub>1.811</sub> Na <sub>0.19</sub> )Σ 1.92 Feii <sub>2</sub> .005Mg <sub>1.45</sub> Al <sub>0.10</sub> Al <sub>0.96</sub> Feiii <sub>0.45</sub> Al <sub>0.04</sub> Mnii <sub>0.025</sub> Mn <sub>0.001</sub> )Σ 0.029Ni <sub>0.002</sub> Σ 0.001)Σ (Si <sub>6.582</sub> Al <sub>1.418</sub> )Σ E8 ((OH) <sub>1.926</sub> F <sub>0.074</sub> C <sub>0.001</sub> )Σ 1.22	(K <sub>0.049</sub> Na <sub>0.002</sub> Σ (Ca <sub>1.811</sub> Na <sub>0.19</sub> )Σ 1.92 Feii <sub>2</sub> .005Mg <sub>1.45</sub> Al <sub>0.10</sub> Al <sub>0.96</sub> Feiii <sub>0.45</sub> Al <sub>0.04</sub> Mnii <sub>0.025</sub> Mn <sub>0.001</sub> )Σ 0.029Ni <sub>0.002</sub> Σ 0.001)Σ (Si <sub>6.582</sub> Al <sub>1.418</sub> )Σ E8 ((OH) <sub>1.926</sub> F <sub>0.074</sub> C <sub>0.001</sub> )Σ 1.22
[T(°C) Otten,1984]	۵۸۸,۹۷	۶,۰,۹,۴۱	۵,۰,۹,۱۶	۵,۰,۸,۷,۶	۵,۰,۸,۴,۰	۵,۰,۹,۷,۹	۵,۰,۹,۶,۲,۹	۵,۰,۳,۱۶	۶,۰,۱,۴۹	۵,۹۶,۳۱	
[P(kbar)Ham mastrom and Zen,1986]	۱۱,۲۴	۸,۱۲	۸,۰۲	۸,۳۹	۸,۸۵	۸,۷۵	۸,۵۰	۸,۴۳	۸,۱۵	۸,۴۲	
[P(kbar) Hollister et al.,1987]	۱۲,۲۴	۸,۷۴	۹,۱۹	۹,۰۵	۹,۵۶	۹,۴۴	۹,۱۷	۹,۰۷	۸,۷۷	۹,۰۷	
[P(kbar) Johnson and Rutherford, 1992]	۹,۲۹	۶,۶۷	۷,۰۱	۶,۸۹	۷,۲۸	۷,۱۹	۶,۹۸	۶,۹۲	۶,۶۹	۶,۹۲	
[P(kbar)Tho mas and Ernst, 1990]	۹,۸۷	۶,۵۵	۶,۹۸	۶,۸۴	۷,۳۳	۷,۲۲	۶,۹۶	۶,۸۷	۶,۵۸	۶,۸۷	
[P(kbar) Schmidt, 1992]	۱۱,۳۴	۸,۳۸	۸,۷۷	۸,۶۴	۹,۰۷	۸,۹۸	۸,۷۴	۸,۶۷	۸,۴۱	۸,۷۷	
[P(kbar) Ague, 1997]	۹,۲۸	۷,۰۷	۷,۳۴	۷,۲۶	۷,۵۹	۷,۵۲	۷,۲۴	۷,۲۸	۷,۰۹	۷,۲۸	
[P(kbar) Ernst and Lui,1998]	۲۱,۴۵	۱۴,۵۱	۱۴,۱۲	۱۵,۱۶	۱۵,۷۵	۱۵,۵۲	۱۴,۹۰	۱۵,۴۶	۱۴,۳۹	۱۴,۷۳	
[P(MPa) Larocque and Canil, 2010]	۲۴۴۷,۳۵	۱۷۶۵,۷۱	۱۷۷۲,۹۵	۱۸۶۰,۴۱	۱۹۳۹,۴۳	۱۸۶۲,۹۲	۱۸۲۵,۸۶	۱۸۵۱,۰	۱۷۸۹,۳۳	۱۸۲۰,۴۵	
[P(MPa) Krawczynski et al., 2012]	۲۴۱۷,۷۱	۱۷۱۸,۰	۱۷۲۵,۵۱	۱۸۱۵,۲۸	۱۸۹۶,۳۸	۱۸۱۷,۸۶	۱۷۷۹,۸۳	۱۸۰۵,۰	۱۷۲۱,۸	۱۷۷۴,۷۷	
[P(kbar) Putrika, 2016]	۱۱,۶۷	۷,۳۴	۷,۸۴	۷,۶۸	۸,۲۶	۸,۱۳	۷,۸۱	۷,۷۱	۷,۳۷	۷,۷۱	
[P(kbar) Mutch et al., 2016]	۱۰,۴۷	۶,۹۵	۷,۳۴	۷,۲۰	۷,۶۷	۷,۵۹	۷,۱۳	۷,۲۶	۶,۹۶	۷,۲۵	
T(°C)Gerya et al., 1997	۵۹۶,۳	۵۷۴,۶	۵۸۶,۰	۵۷۲,۶	۵۷۷,۳	۵۸۴,۷	۵۸۰,۶	۵۷۴,۸	۵۷۶,۱	۵۷۷,۶	
P(kbar) Gerya et al., 1997	۶,۲۰	۵,۲۶	۵,۴۴	۵,۴۵	۵,۵۹	۵,۵۴	۵,۴۲	۵,۳۵	۵,۳۱	۵,۳۸	
Fe <sub>3</sub> +ΣFe	-۰,۲۶۸	-۰,۱۶۶	-۰,۱۶۶	-۰,۱۸۹	-۰,۱۹۵	-۰,۱۷۴	-۰,۱۶۳	-۰,۱۷۱	-۰,۱۷۱	-۰,۱۴۸	
Fe(Fe+Mg)	-۰,۶۰	-۰,۶۳	-۰,۶۲	-۰,۶۳	-۰,۶۳	-۰,۶۳	-۰,۶۴	-۰,۶۲	-۰,۶۳	-۰,۶۳	



شکل ۶ مرزهای ترکیبی آمفیبول‌های کلسیمی؛ نمونه‌های آمفیبول در گارنت آمفیبولیت بیشتر در چرماتیت قرار دارد (برگرفته از مرجع [۳۰]).

تائید می‌کند، از روش بیوتیت – گارنت [۴۴-۳۹] نمی‌توان استفاده کرد. بنابراین در اینجا از روش‌های دیگر استفاده شد.

#### روش گارنت – آمفیبول

تبادل Fe-Mg بین هورنبلند-گارنت برای انجام زمین دما‌سنجی توسط داده‌های مرجع [۴۵] کالیبره شد (تابع ۱). این زمین دما‌سنج برای دماهای زیر حدود  $850^{\circ}\text{C}$  و برای سنگ‌های با گارنت فقیر از Mn و هورنبلند معمولی که بطور گسترده‌ای با شیمی متفاوتی در فعالیت پایین  $\text{O}_2$  دگرگون می‌شود، کاربرد دارد. گراهام و پاول [۴۵] تابع زیر را برای زمین دما‌سنج هورنبلند – گارنت استفاده کردند:

$$(1) \quad T (\text{K}) = (2880 + (3280 * X_{\text{Ca}, \text{Grt}})) / \ln K_D + 2.426$$

در این رابطه،  $K_D$  ضریب توزیع Fe-Mg است که به صورت زیر بدست می‌آید:

$$(2) \quad K_D = (X_{\text{Fe, Grt}} / X_{\text{Mg, Grt}}) / (X_{\text{Fe, Hb}} / X_{\text{Mg, Hb}})$$

براین اساس، گارنت و آمفیبول‌های کنار هم (همزیست) و نزدیک به تعادل ترمودینامیکی انتخاب شدند و از نرم‌افزار GTB برای محاسبه دما استفاده شد. بر این اساس، برای هسته گارنت و آمفیبول دمای  $86^{\circ}\text{C}$  و برای لبه این کانی‌ها، دمای  $86^{\circ}\text{C}$  بدست آمد. این دما در گستره واکنش And=Ky قرار دارد. در حالی که در متاپلیت‌های مجموعه دگرگونی گیسور بعلت تبدیل چندریختی آندالوزیت به سیلیمانیت، این گستره دمایی نمی‌تواند قابل قبول باشد، زیرا چنان که گفته شد مقدار اسپسارتین گارنت بالاست و در گارنت همزیست با فروچرماکیت به  $16.58\%$  ( $X_{\text{Sps}} = 0.168$ )، می‌رسد. همچنین در آمفیبولیت‌ها، مقداری تیتانیت (اسفن) و هماتیت دیده می‌شود که نشان‌دهنده گریزندگی اکسیژن (fo<sub>2</sub>) بالاست

#### بیوتیت‌های کلریتی شده

نتایج داده‌های نقطه‌ای ترکیب شیمیایی بیوتیت‌های کلریتی شده در جدول ۳ ارائه شده‌اند. چنان که دیده می‌شود، مجموع کل اکسیدها کمتر از ۹۵-۹۶٪ (بدون درنظر گرفتن آب) و مقدار  $\text{K}_2\text{O}$  نیز کمتر از ۸ درصد است. مجموع کل اکسیدهای موجود در کلریت به جز آب کمتر از ۸۹ درصد است. بنابراین بیوتیت‌ها کلریتی شده‌اند. به این دلیل شیمی کلریت با استفاده از نرم افزار WinCcac [۱۶] بر پایه ۱۴ اکسیژن رده‌بندی و بررسی شد (جدول ۳).

با توجه به جدول ۳، کلریت‌ها در گروه I قرار دارند. در کلریت‌های سازنده سنگ، Fe, Mg و Al کاتیون‌های اصلی هشت وجهی هستند و افزایش Al اغلب با افزایش  $\text{SiO}_4$  همراهی می‌شود، بنابراین کلریت‌های گروه I آن‌هایی هستند که دارای  $X_{\text{Mg}} + X_{\text{Fe}(\text{tot})} \geq X_{\text{Al}} + X_{\square}$  تعداد اتم‌ها در واحد فرمولی است (باشند [۳۵] و بر این اساس، کلریت‌های گیسور در گستره آهن و آلومینیم‌دار قرار دارند (شکل ۷ الف). آنها بر اساس نمودار  $\text{X}_{\text{Mg}}^{VI} \text{R}^{3+} / \text{R}^{2+}$  [۳۶] و نمودار سامانه متحدد  $\text{SiO}_4$  [۳۷] در زیرگروه سه‌سه هشت وجهی (شکل ۷ ب) و با نام شاموزیت [۳۷، ۳۸] رده‌بندی می‌شوند و کلریت‌های نوع I از متاپلیت‌های فشار پایین هستند و با  $\text{Bt} + \text{Grt}$  در دمای پایین و با  $\text{Bt} + \text{Grt} + \text{St}$  در رخساره آمفیبولیت همزیست هستند [۳۵].

#### دما-فشار سنجی

شرایط دما-فشار دگرگونی بوسیله زمین دما-فشار سنج‌های مرسوم محاسبه شده‌اند. در اینجا با وجود همزیستی گارنت و بیوتیت، از آنجاکه داده‌های بیوتیت جایگزینی آن را با کلریت

چنان که اشاره شد، زمین دماسنگی به دو روش بالا ممکن نیست، بنابراین آنچه برای زمین دماسنگی نیاز است باید مستقل از سایر کانی‌ها باشد. از این‌رو روش دماسنگی آمفیبول که در زیر توضیح داده می‌شود به کار رفت.

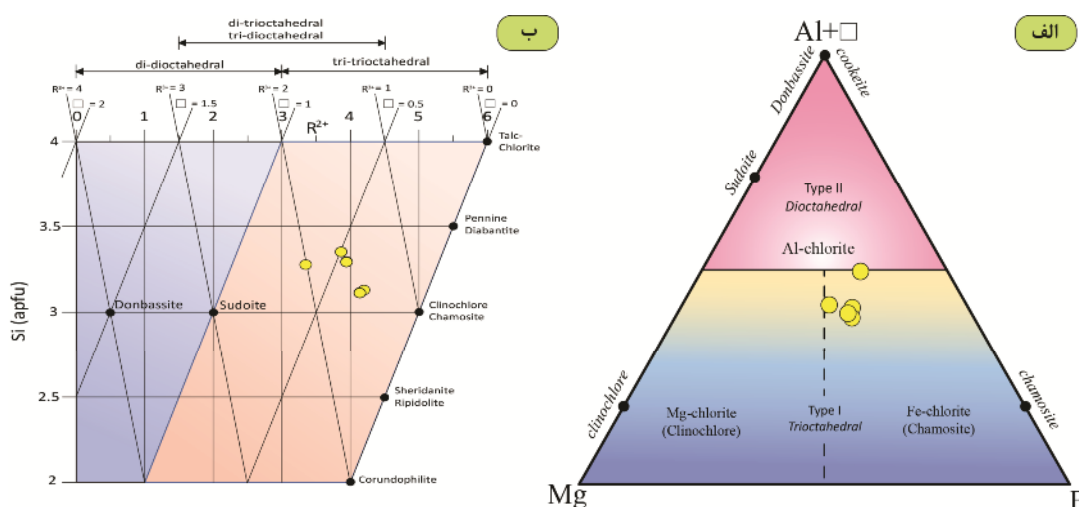
[۲۸، ۴۶]. افزون بر این، حضور اپیدوت در نزدیکی گارنت آمفیبولیت‌ها در صحراء نشان‌دهنده گریزندگی اکسیژن بالاست. به بیان دیگر، گریزندگی اکسیژن کمتر از بافر (کوارتز-فایالیت-مگنتیت QFM) نیست [۲۸].

جدول ۳ نتایج تجزیه نقطه‌ای بیویتی‌های کلریتی شده و تعیین فرمول واحد ساختاری به همراه رده‌بندی

شماره نمونه	۲۲	۲۳	۲۴	۲۶	۲۷
(%)[SiO <sub>2</sub>	۳۰,۱۱	۲۷,۸۰	۲۷,۵۳	۲۸,۷۸	۳۱,۰۹
TiO <sub>2</sub>	۰,۰۵	۰,۰۳	۰,۰۳	۰,۹۰	۰,۰۸
Al <sub>2</sub> O <sub>3</sub>	۱۷,۲۵	۱۷,۲۶	۱۷,۵۶	۱۷,۸۵	۱۷,۲۴
FeO	۲۵,۵۳	۲۶,۲۱	۲۵,۲۲	۲۲,۵۹	۲۱,۹۶
MnO	۰,۲۵	۰,۲۲	۰,۱۸	۰,۱۳	۰,۲۵
MgO	۹,۷۰	۱۰,۱۶	۱۰,۲۷	۶,۹۵	۱۱,۰۴
CaO	۰,۸۴	۰,۵۵	۰,۵۰	۱,۸۵	۰,۵۲
Na <sub>2</sub> O	۰,۰۵	۰,۰۷	۰,۱۰	۰,۱۳	۰,۰۷
K <sub>2</sub> O	۰,۲۵	۰,۲۸	۰,۶۰	۱,۳۹	۰,۸۵
F	۰,۰۴	۰,۰۰	۰,۰۰	۰,۰۰	۰,۰۰
Cl	۰,۰۲	۰,۱	۰,۰۴	۰,۷	۰,۰۱
O=F	۰,۰۲	۰,۰۰	۰,۰۰	۰,۰۰	۰,۰۰
O=Cl	۰,۰۱	۰,۰۰	۰,۰۱	۰,۰۲	۰,۰۰
مجموع (%)	۸۴,۰۷	۸۲,۶۰	۸۷,۲	۸۰,۶۳	۸۳,۶۶
[H <sub>2</sub> O(c)]	۱۰,۹۳	۱۰,۶۴	۱۰,۵۹	۱۰,۵۰	۱۱,۱۱
FeO(c)](%)	۰,۰۰	۰,۰۰	۰,۰۰	۰,۰۰	۰,۰۰
(apfu)[Si]	۳,۳۰	۳,۱۳	۳,۱۲	۳,۲۸	۳,۲۵
Ti	۰,۰۰	۰,۰۰	۰,۰۰	۰,۰۸	۰,۰۱
Al	۲,۲۲	۲,۲۹	۲,۳۴	۲,۴۰	۲,۱۹
Fe(2+)	۲,۳۴	۲,۴۷	۲,۳۹	۲,۱۵	۱,۹۸
Mn	۰,۰۲	۰,۰۲	۰,۰۲	۰,۰۱	۰,۰۲
Ni	۰,۰۰	۰,۰۰	۰,۰۰	۰,۰۰	۰,۰۰
Mg	۱,۵۸	۱,۷۱	۱,۷۳	۱,۱۸	۱,۸۶
Ca	۰,۱۰	۰,۰۷	۰,۰۶	۰,۲۳	۰,۰۶
Na	۰,۰۱	۰,۰۲	۰,۰۲	۰,۰۳	۰,۰۱
K	۰,۰۳	۰,۰۴	۰,۰۹	۰,۲۰	۰,۱۲
F	۰,۰۱	۰,۰۰	۰,۰۰	۰,۰۰	۰,۰۰
Cl	۰,۰۰	۰,۰۰	۰,۰۱	۰,۱	۰,۰۰
OH](apfu)	۷,۹۸	۸,۰۰	۷,۹۹	۷,۹۹	۸,۰۰
[Si]	۳,۳۰	۳,۱۳	۳,۱۲	۳,۲۸	۳,۳۵
Al(IV)	۰,۷۰	۰,۸۷	۰,۸۸	۰,۷۲	۰,۶۵
جاروچه [مجموع]	۴,۰۰	۴,۰۰	۴,۰۰	۴,۰۰	۴,۰۰
[Al(VI)]	۱,۵۲	۱,۴۲	۱,۴۶	۱,۶۸	۱,۵۵
Ti	۰,۰۰	۰,۰۰	۰,۰۰	۰,۰۸	۰,۰۱
Fe2+	۲,۳۴	۲,۴۷	۲,۳۹	۲,۱۵	۱,۹۸
Mn	۰,۰۲	۰,۰۲	۰,۰۲	۰,۰۱	۰,۰۲
Ni	۰,۰۰	۰,۰۰	۰,۰۰	۰,۰۰	۰,۰۰
Mg	۱,۵۸	۱,۷۱	۱,۷۳	۱,۱۸	۱,۸۶
هشت وچه [مجموع]	۵,۴۷	۵,۶۲	۵,۶۰	۵,۱۰	۵,۴۲
[تهیجای هشت وچه]	۰,۵۳	۰,۳۸	۰,۴۰	۰,۹۰	۰,۵۸
[Ca]	۰,۱۰	۰,۰۷	۰,۰۶	۰,۲۳	۰,۰۶
Na	۰,۰۱	۰,۰۲	۰,۰۲	۰,۰۳	۰,۰۱
K	۰,۰۳	۰,۰۴	۰,۰۹	۰,۲۰	۰,۱۲
مجموع	۰,۱۴	۰,۱۲	۰,۱۷	۰,۴۶	۰,۱۹
[OH]	۷,۹۸	۸,۰۰	۷,۹۹	۷,۹۹	۸,۰۰
F	۰,۰۱	۰,۰۰	۰,۰۰	۰,۰۰	۰,۰۰
Cl	۰,۰۰	۰,۰۰	۰,۰۱	۰,۰۱	۰,۰۰
مجموع	۸,۰۰	۸,۰۰	۸,۰۰	۸,۰۰	۸,۰۰
[Si(T1)]	۲,۵۹	۲,۲۶	۲,۲۳	۲,۵۶	۲,۷۱
Al(T1)	۰,۷۰	۰,۸۷	۰,۸۸	۰,۷۲	۰,۶۵
Si(T2)	۰,۷۰	۰,۸۷	۰,۸۸	۰,۷۲	۰,۶۵
Al(T2)	۱,۵۲	۱,۴۴	۱,۴۶	۱,۶۸	۱,۵۵
Mg(M1+M4)	۰,۹۴	۱,۰۰	۱,۰۱	۰,۶۴	۱,۱۱
Fe(M1+M4)	۱,۳۹	۱,۴۵	۱,۳۹	۱,۱۷	۱,۱۸
Al(M1+M4)	۰,۷۰	۰,۸۷	۰,۸۸	۰,۷۲	۰,۶۵
تهیجای(M1+M4)	۰,۴۱	۰,۲۸	۰,۲۹	۰,۴۸	۰,۴۵
Mg(M2+M3)	۰,۶۴	۰,۷۰	۰,۷۲	۰,۵۴	۰,۷۵

ادامه جدول ۳ نتایج تجزیه نقطه‌ای بیوتیت‌های کلریتی شده و تعیین فرمول واحد ساختاری به همراه رده‌بندی

شماره نمونه	۲۲	۲۳	۲۴	۲۶	۲۷
Fe(M2+M3)	۰,۹۵	۱,۰۲	۰,۹۹	۰,۹۸	۰,۸۰
Al(M2+M3)]	۰,۴۱	۰,۲۸	۰,۲۹	۰,۴۸	۰,۴۵
[XSi,tet	۰,۶۵	۰,۵۷	۰,۵۶	۰,۶۴	۰,۶۸
XAl,tet	۰,۳۵	۰,۳۳	۰,۴۴	۰,۳۶	۰,۳۲
XTotal,tet]	۱,۰۰	۱,۰۰	۱,۰۰	۱,۰۰	۱,۰۰
[XAl,oct	۰,۲۵	۰,۲۴	۰,۲۴	۰,۲۸	۰,۲۶
XMg,oct	۰,۲۷	۰,۲۹	۰,۲۹	۰,۲۰	۰,۳۱
XFe,oct	۰,۳۹	۰,۴۱	۰,۴۰	۰,۳۶	۰,۳۳
XVacancy,oct	۰,۰۹	۰,۰۸	۰,۰۷	۰,۱۵	۰,۱۰
XTotal,oct]	۱,۰۰	۱,۰۰	۱,۰۰	۱,۰۰	۱,۰۰
[XSi(T2)	۰,۵۰	۰,۵۰	۰,۵۰	۰,۵۰	۰,۵۰
XAl(T2)	۰,۵۰	۰,۵۰	۰,۵۰	۰,۵۰	۰,۵۰
XFe(M2M3)	۰,۴۸	۰,۵۲	۰,۵۱	۰,۵۰	۰,۴۲
XMg(M2M3)	۰,۳۳	۰,۳۶	۰,۳۷	۰,۲۸	۰,۳۹
XAl(M2M3)	۰,۱۹	۰,۱۳	۰,۱۲	۰,۲۲	۰,۲۰
XFe(M1)	۰,۳۶	۰,۴۴	۰,۴۴	۰,۳۶	۰,۳۱
XMg(M1)	۰,۲۵	۰,۳۱	۰,۳۲	۰,۲۰	۰,۲۹
XVacancy(M1)]	۰,۳۹	۰,۲۵	۰,۲۳	۰,۴۴	۰,۳۹
[Si]	۲,۳۰	۲,۱۳	۲,۱۲	۲,۲۸	۲,۲۵
Fe(Fe+Mg)	۰,۶۰	۰,۵۹	۰,۵۸	۰,۶۵	۰,۵۲
Fe(total)	۲,۳۴	۲,۴۷	۲,۳۹	۲,۱۵	۱,۹۸
(Al+Mg+Fe)	۶,۱۴	۶,۴۷	۶,۴۶	۵,۷۳	۶,۰۳
(XMg+XFe)	۳,۹۲	۴,۱۸	۴,۱۲	۳,۲۴	۳,۸۴
Octahedral occupancy	۵,۴۷	۵,۶۲	۵,۶۰	۵,۱۰	۵,۴۲
Vacancy	۰,۵۳	۰,۳۸	۰,۴۰	۰,۹۰	۰,۵۸
(XAl+XVacancy)	۲,۷۶	۲,۶۷	۲,۷۵	۳,۲۹	۲,۷۷
(Fe2+Mg)	۳,۹۲	۴,۱۸	۴,۱۲	۳,۳۴	۳,۸۴
R2+	۳,۹۴	۴,۲۰	۴,۱۴	۳,۳۵	۳,۸۶
R3+]	۱,۵۲	۱,۴۳	۱,۴۶	۱,۷۵	۱,۵۵
[Al/(Al+Mg+Fe2+)	۰,۳۶	۰,۳۵	۰,۳۶	۰,۴۲	۰,۳۶
Mg(Mg+Fe2+)	۰,۴۰	۰,۴۱	۰,۴۲	۰,۳۵	۰,۴۸
Na+K+2Ca	۰,۲۴	۰,۱۹	۰,۲۳	۰,۶۸	۰,۲۵
AlIVI+Fe2+	۳,۸۶	۳,۸۹	۳,۸۴	۳,۸۳	۳,۵۳
AlVI+Mg+Fe2+	۵,۴۴	۵,۶۰	۵,۵۸	۵,۰۱	۵,۳۸
AlVI,(Si+AlIV)]	۰,۱۸	۰,۱۲	۰,۲۲	۰,۱۸	۰,۱۶
%[Al-chl]	۲۰,۱۵	۲۰,۴۶	۲۱,۰۰	۲۳,۹۱	۲۰,۳۶
Fe-chl	۵۰,۴۵	۴۹,۰۶	۴۷,۹۴	۵۲,۵۲	۴۵,۱۷
Mg-chl]	۲۹,۱۰	۳۰,۴۸	۳۱,۰۶	۲۳,۵۷	۲۴,۴۸
%[Clinochlore	۴۰,۱۵	۴۰,۶۶	۴۱,۸۸	۳۵,۲۹	۴۸,۰۸
Chamosite	۵۱,۲۶	۵۱,۸۴	۵۱,۷۱	۶۴,۳۳	۵۱,۳۳
Pennantite]	۰,۵۹	۰,۵۰	۰,۴۱	۰,۳۸	۰,۵۹
[Subgroup(R)	tri-tri	tri-tri	tri-tri	tri-tri	tri-tri
Subgroup(Vacancy)	tri-tri	tri-tri	tri-tri	tri-tri	tri-tri
Type]	Type-I	Type-I	Type-I	Type-I	Type-I
[۳۵] نمونه‌های مرجع	Fe chlorite	Fe chlorite	Fe chlorite	Al chlorite	Al chlorite
[۳۷] نمونه‌های مرجع	Chamosite	Chamosite	Chamosite	Chamosite	Chamosite
[۳۸] نمونه‌های مرجع	Chamosite	Chamosite	Chamosite	Chamosite	Chamosite
نمونه‌های این پژوهش	Chamosite	Chamosite	Chamosite	Chamosite	Chamosite



شکل ۷ الف) نمودار  $Mg-Fe-(Al+\square)$  که براساس آن نمونه‌های کلریت گیسور در گروه I قرار دارند (برگرفته از مرجع [۳۶]). ب) نمودار – که با توجه به آن، نمونه‌های کلریت گیسور در زیرگروه سه-سه هشت وجهی قرار دارند (برگرفته از مرجع [۳۶]).

که در تابع بالا،  $Ti/23 O$  مقدار کاتیون‌های  $Ti$  (برحسب  $apfu$ ) در آمفیبول کلسیمی است که در واحد فرمولی برپایه ۲۳ اکسیژن محاسبه شده باشد. بر اساس دماسنجه آمفیبول [۵۰] که با استفاده از نرم‌افزار WinAmptb [۱۷] انجام شد، دمای  $584-609^{\circ}C$  بدست آمد.

گریا و همکاران [۵۱] وابستگی  $Si$  به دما را در مجموعه‌های دارای پلازیوکلاز و کوارتز، تعیین کرده و با داده‌های تجربی از مرجع [۵۲] تابع تصحیح شده زیر را برای مجموعه کلسیت + کلریت + زوئیزیت + کوارتز + پلازیوکلاز + آمفیبول کلسیمی را بدست آوردند [۵۳]:

$$T[K] = 4701/(1.825 - 1.987\ln(8/15.5 - Si_{Am}/sum_{kat} + 0.07531)) \quad (5)$$

$Si_{Am}$  و  $sum_{kat}$  به ترتیب مقدار  $Si$  و مجموع کاتیون‌ها در فرمول ساختاری آمفیبول هستند که براساس ۱۳ کاتیون محاسبه شدند (جدول ۲). براساس این روش، دما در گستره  $572.6-596.3^{\circ}C$  قرار دارد.

#### فشارسنجه آمفیبول

اساس فشارسنجه آمفیبول  $Al_{tot}$  در ساختار فرمولی آمفیبول است [۵۴-۵۶]. فشارسنجه برای آمفیبول نمونه‌های گیسور با استفاده از روش‌های بالا، مقادیر بسیار متفاوتی را در گستره ۶,۵۵ تا  $21/45$  کیلوبار نشان می‌دهد (جدول ۲) که متفاوت از مقادیر بدست آمده از متاپلیت‌های گیسور (حدود  $4/5$  kbar –  $3/8$ ) است. افزون بر دما، عوامل دیگری چون مقدار کم منیزیم آمفیبول سبب افزایش فشار محاسبه شده می‌شوند [۴۹].

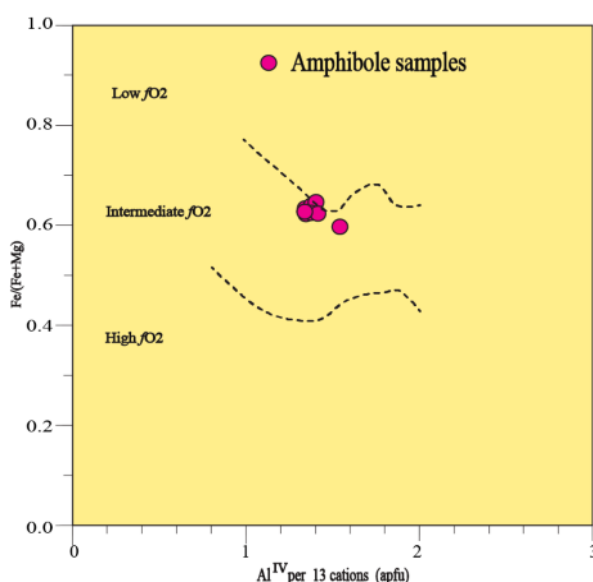
**روش دماسنجه آمفیبول**  
به گزارش برخی پژوهشگران [۴۸، ۴۷]، مقدار  $Ti$  به شدت با دما افزایش می‌یابد و مستقل از ترکیب سنگ کل است. بنابراین باید امکان استفاده از مقدار  $Ti$  به عنوان دماسنجه وجود داشته باشد. البته اینکار چند پیچیدگی دارد، زیرا مقدار  $Ti$  است وابسته به عوامل دیگری باشد. افزایش گریزندگی اکسیژن از بافر QFM به بافر MH (مگنتیت-هماتیت) به شدت مقدار  $Ti$  هورنبلند را کاهش می‌دهد. همچنین به باور ارنست ولیو [۴۸] مقدار  $Ti$  در کلسیم آمفیبول‌ها تقریباً مستقل از فشار است. بنابراین مقدار  $Ti$  بالاتر از  $500^{\circ}C$  در یک دماسنجه نشان دهنده محلول بودن  $Ti$  در آمفیبول کلسیمی است [۴۸]. براساس شکل ۸، گریزندگی اکسیژن در گارنت آمفیبولیت‌ها در سطح متوسط قرار دارد [۴۹]، اما به مرز گریزندگی سطح پایین نزدیک است. به بیان دیگر، چنان که اندرسن و اسمیت [۴۹] پیشنهاد داده‌اند، نسبت  $Fe/(Fe+Mg)$  بین  $0.65-0.80$  است، بنابراین نمونه‌های گارنت آمفیبولیت بر بافر QFM و کمی بالاتر از آن قرار دارند. از آنجاکه نزدیک بودن به بافر اثر QFM می‌بر مقدار  $Ti$  دارد [۵۰]. می‌توان از دماسنجه مقدار  $Ti$  در آمفیبول با توجه به نزدیک بودن به بافر QFM استفاده کرد. ارتن [۵۰] با استفاده از داده‌های مرجع [۴۷]، رابطه دماسنجه نیمه تجربی  $Ti$  در آمفیبول را با میانگین ترکیب‌های آمفیبول که شامل دو بخش است، به دست آورد:

$$[T]_{084}^{\circ}C = 273*(Ti/23O) + 877:T > 970^{\circ}C \quad (3)$$

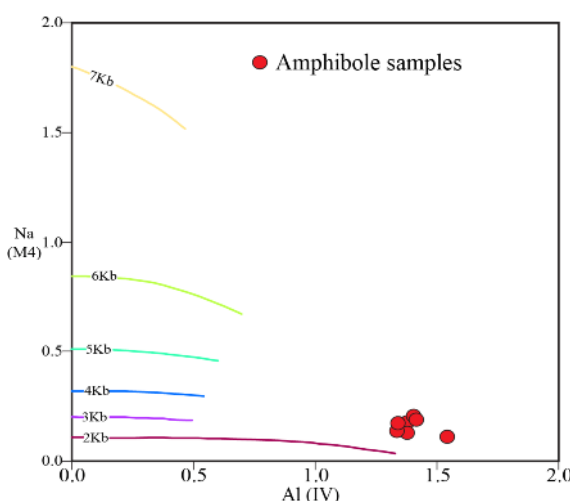
$$[T]_{084}^{\circ}C = 1204*(Ti/23O) + 545:T < 970^{\circ}C \quad (4)$$

که پیشتر به آن اشاره شد.  $\text{Al}_{\text{tot}}$  بالا در آمفیبول‌های با سطح پایین تبادل مهم  $\text{Fe}^{3+}$ - $\text{Al}^{IV}$ - $\text{fO}_2$  را نشان می‌دهد، بنابراین به علت نزدیکی به بافر QFM نمی‌توان از فشارسنج آمفیبول استفاده کرد، زیرا واسنجی روش‌های مرسوم برای مقادیر بالای بافر QFM کاربرد دارد [۴۹]، اما استفاده از روش براون [۶۵] که رابطه بین  $\text{Na}_{\text{M}4}$ ,  $\text{Al}_{\text{IV}}$  و  $\text{fO}_2$  را برای تعیین فشار آمفیبول‌های کلسیمی بررسی کرد، می‌تواند مفید باشد. شکل ۹ فشارسنجی براساس این روش را نشان می‌دهد. بنابراین مقدار فشار برای آمفیبول‌ها در گارنت آمفیبول‌ها بین ۲ تا حدود ۴ کیلوبار است. این فشارها در گستره دگرگونی مجاورتی قرار دارند.

اسمیت [۶۴] تأیید کرد که با افزایش  $\text{Al}$  با فشار، منیزیم به مراتب بیش از  $\text{Fe}^{2+}$  کاهش می‌یابد و نتیجه گرفت که جانشینی چرمک به طور ترجیحی  $\text{Mg}$  را از محل  $\text{M}_2$  به جای  $\text{Fe}$  خارج می‌کند. همچنین در صورت وجود عامل دیگری مانند  $\text{Fe}^{2+}$ ، منیزیم نسبت به  $\text{Fe}^{2+}$  کاهش می‌یابد و این امر سبب جایگزینی چرمک می‌شود. عامل دیگر، مقدار کم  $\text{Fe}^{3+}$  نسبت به  $\text{Fe}_{\text{tot}}$  است. نسبت  $(\text{Fe}^{3+} + \text{Fe}^{2+}) / (\text{Fe}^{3+} + \text{Fe}^{2+} + \text{Al}^{IV})$  برای آمفیبول در نمونه‌های گارنت آمفیبولیت گیسور ۰،۲۶۸ - ۰،۱۴۸ است که با توجه به مرجع [۴۹]، در گستره همپوشی سطوح  $\text{fO}_2$  بالا و پایین قرار دارد و به بیان دیگر در سطح پایین تا متوسط است.



شکل ۸ نمودار  $\text{Al}^{\text{IV}}\text{-Fe}/(\text{Fe}+\text{Mg})$  و ارتباط آن با گریزندگی اکسیژن (برگرفته از مرجع [۴۸]).

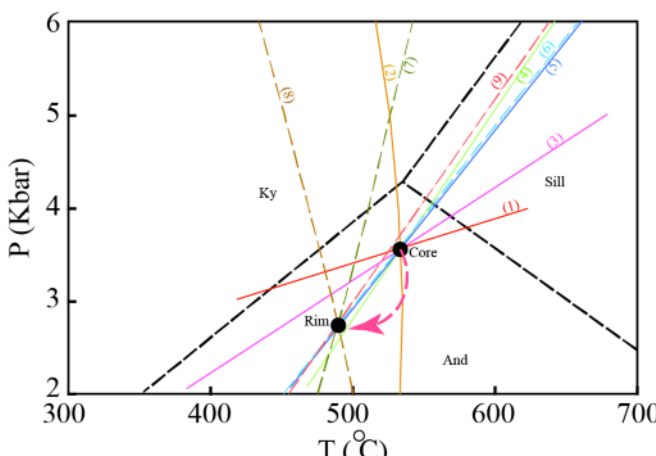


شکل ۹ نمودار  $\text{Na}_{\text{M}4}\text{-Al}_{\text{IV}}$  و ارتباط آن با تعیین فشار. نمونه‌های آمفیبول در گارنت آمفیبولیت‌های گیسور مقادیر ۲-۴ kbar را نشان می‌دهند (برگرفته از مرجع [۶۴]).

تعادل‌های فازی

۲/۸ بdest آمد (جدول ۵). این نتایج نشان می‌دهند که یک دگرگونی برگشتی از مرکز به لبه رخ داده است (شکل ۱۰). افزون براین، دما و فشار محاسبه شده از متاپلیت‌ها (نمونه MG<sub>3IB</sub>) در جدول ۵ همخوانی خوبی با گارنت آمفیبولیت دارد.  
[۲۶]

تعادل‌های فازی با ترموکالک [۱۴] برای ترکیب‌های مرکز و لبه نمونه‌های گارنت آمفیبولیت بررسی شد (شکل ۱۰ و جدول ۴). شرایط دما-فشار برای ترکیب‌های مرکز و لبه نمونه گارنت آمفیبولیت (CH<sub>1-15</sub>) با فرض وجود آنورتیت [۲۸] و آئیت و فلوگوبیت، به ترتیب ۴۸۹ °C و ۳/۶ kbar و ۵۳۴ °C و ۳/۶ kbar



شکل ۱۰ نمودار دما - فشار محاسبه شده براساس تعادل‌های فازی با استفاده از ترموکالک [۱۴]. مسیر دگرگونی برگشتی از مرکز به لبه مشخص شده است. شماره‌های نوشته شده بر مبنای نمونه‌ها، نشانگر شماره واکنش‌ها در جدول ۴ است، واکنش‌های برگشتی با خط چین نشان داده شده‌اند.

جدول ۴ مجموعه واکنش‌های مستقل استفاده شده در برآورد شرایط دما - فشار با استفاده از برنامه ترموکالک (نمادهای استفاده شده، از برنامه ترموکالک است).

عضو نهایی	مجموعه واکنش‌های مستقل استفاده شده در برآورد شرایط دما - فشار ترکیب-های مرکز	فعالیت ترکیب-های لبه	مجموعه واکنش‌های مستقل برای بیشترین دگرگونی در گارنت آمفیبولیت (CH <sub>1-15</sub> ) با استفاده از ترکیب‌های مرکز هسته گارنت و آمفیبول
gr	۰/۰۱۰۴	۰/۰۰۹۳	۱) 6fact + 21an = 11gr + 10alm + 27q + 6H <sub>2</sub> O 2) 6fact + 7mu = 4gr + 3alm + 7ann + 27q + 6H <sub>2</sub> O 3) 3an + ann = gr + alm + mu 4) 6fact + 10mu = gr + 9an + 10ann + 27q + 6H <sub>2</sub> O 5) alm + 6fact + 11mu = 12an + 11ann + 27q + 6H <sub>2</sub> O
alm	۰/۲۲	۰/۱۹	۶) alm + 6fact + 11mu = 12an + 11ann + 27q + 6H <sub>2</sub> O 7) 18fact + 55ts + 40q = 30alm + 33tr + 80an + 40H <sub>2</sub> O 8) 5ts + 3ann + 11q = 3alm + 3tr + 4an + 3mu + 2H <sub>2</sub> O 9) 18fact + 5ts + 30mu = 3tr + 40an + 30ann + 70q + 20H <sub>2</sub> O
tr	---	۰/۰۱۰۶۳	مجموعه واکنش‌های مستقل برای دگرگونی برگشتی در گارنت آمفیبولیت (CH <sub>1-15</sub> ) با استفاده از ترکیب‌های لبه گارنت و آمفیبول
fact	۰/۰۱۱۸	۰/۰۱۲۵	در این محاسبات فرض شد که فعالیت اعضا نهایی برابر ۱ است و فاصله‌ای اضافه نیز عبارتند از: an, ann, phl mu, q, H <sub>2</sub> O
ts	---	۰/۰۱۱	

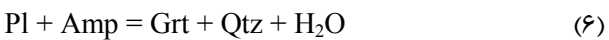
جدول ۵ دما - فشار محاسبه شده برای ترکیب‌های مرکز و لبه گارنت آمفیبولیت و متاپلیت.

نمونه	T (°C)	P (kbar)	SD (T)	SD (P)	Correl.	Fit
MG <sub>3IB</sub> (metapelite)	۶۰۱	۴/۲	۴۸	۲/۰	۰/۸۹۳	۲/۰۶
CH <sub>1-15</sub> (Grt-Amphibolite) for مرکز	۵۳۴	۳/۶	۹۸	۱/۳	۰/۹۴۲	۱/۰۲۸
CH <sub>1-15</sub> (Grt-Amphibolite) for Rim	۴۸۹	۲/۸	۹۰	۱/۹	۰/۹۲۰	۱/۰۲۸

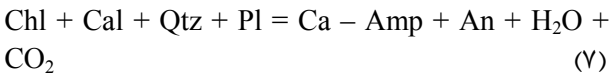
بحث

بنابراین سنگ مادر دارای ناخالصی‌هایی از پتاسیم بوده که سبب تشکیل بیوتیت شده است.

با توجه به مجموعه  $Bt+Hbl+Grt+Pl$  و قرارگیری کانی‌های کوارتز در لبه شکفته بلور گارنت که به صورت میانبار در برگرفته شده‌اند و میانبارهای آمفیبیول در کوارتز که خود به صورت میانبار درون گارنت است، تشکیل گارنت از شکست آمفیبیول و پلاژیوکلاز تأیید می‌شود [۶۸]. بنابراین می‌توان واکنش زیر را برای گارنت آمفیبیولیت پیشنهاد کرد:



وجود مجموعه  $Pl+Ca-Amp+Cal$  واکنش زیر را پیشنهاد می‌کند:



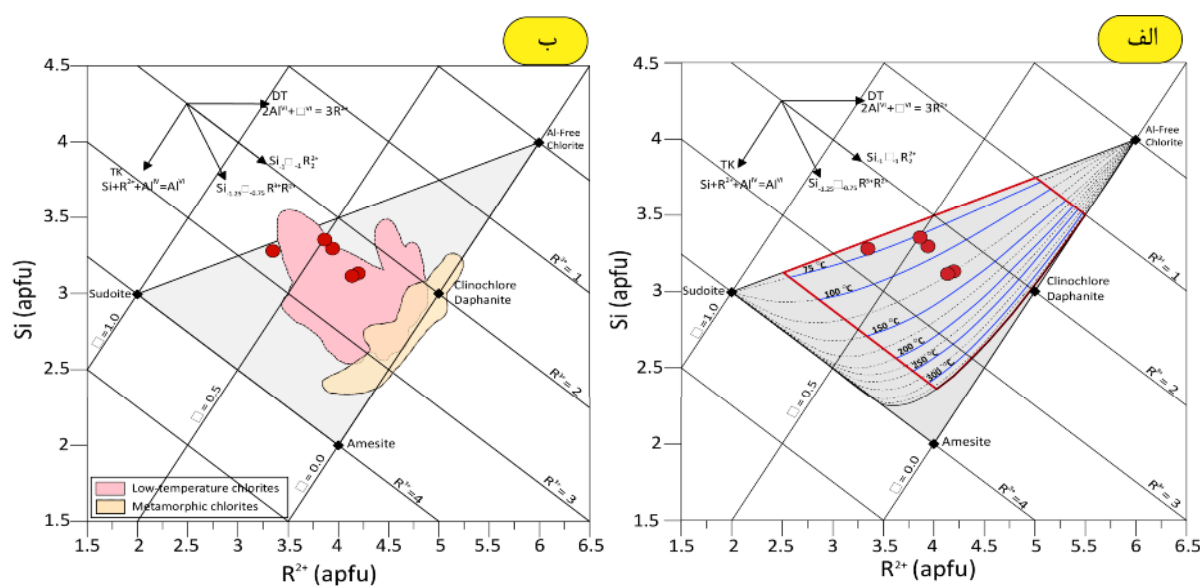
همچنین در سنگ‌های اپیدوتدار به علت وجود مجموعه  $Pl+Cal+Ep$  واکنش زیر پیشنهاد می‌شود:



با توجه به حضور گارنت آمفیبیولیت و آمفیبیولیت‌های بدون گارنت در میان متاپلیت‌های مجموعه دگرگونی گیسور، هم شیب بودن آن‌ها با سنگ‌های رسی دگرگونه و شباهت جهت‌گیری کانی‌های آن‌ها، چنانی برداشت می‌شود که متاپلیت‌ها و آمفیبیولیت‌ها باید در شرایط دگرگونی مشابهی به وجود آمده باشند. بنابراین مقایسه داده‌های دما-فشارسنجدی آمفیبیولیت‌ها و متاپلیت‌ها می‌تواند آن را تأیید نماید. چنان که بیان شد، دما و فشار محاسبه شده برای آمفیبیولیت‌ها به ترتیب  $60.9^{\circ}C$  -  $60.8^{\circ}C$  و حدود  $534 - 550$  kbar است و برای متاپلیت‌های این منطقه  $489^{\circ}C$  -  $495$  kbar شده‌اند. از این رو، با توجه به دمای محاسبه شده، آمفیبیولیت‌های گیسور تا گستره رخساره آمفیبیولیت میانی پیش رفت‌اند. همچنین بر پایه محاسبه تعادل‌های فازی که در بالا بیان شد، این سنگ‌ها دستخوش یک دگرگونی برگشتی شده‌اند (شکل ۱۰). دما و فشار محاسبه شده برای آن‌ها به ترتیب  $489^{\circ}C$  و  $2.8$  kbar است. از سوی دیگر، دمای محاسبه شده برای بیوتیت‌های کلریتی شده کمتر از  $150^{\circ}C$  است [۶۹] (شکل ۱۱الف). در شکل ۱۱ ب، نمونه‌های بیوتیت کلریتی شده نیز در گستره کلریت‌های دما پایین واقع هستند.

گارنت آمفیبیولیت‌ها در نواحی دگرگونی رخساره‌های اکلوژیت، [۵، ۴۶] گرانولیت یا اپیدوت آمفیبیولیت معمول هستند [۵] آن‌ها در دو رخساره نخست اغلب در اثر یک دگرگونی پسروندۀ ناشی از کاهش فشار به وجود می‌آیند و سبب تشکیل بافت‌های واکنشی می‌شوند که این بافت اغلب از کانی‌هایی چون آمفیبیول، پلاژیوکلاز، پیروکسن و گارنت ایجاد شده‌اند. البته کانیساوا [۵] تشکیل گارنت آمفیبیولیت را در هاله‌های دگرگونی نوع ابوکوما بررسی کرد. گارنت آمفیبیولیت‌ها در منطقه گیسور بافت‌های واکنشی ندارند، بنابراین برآمده از یک دگرگونی پسروندۀ از رخساره‌های گرانولیت و یا اکلوژیت نیستند. از طرفی، نبود اپیدوت در آن‌ها ( $Bt+Hbl+Grt+Pl$ ) نشانگر گذر از رخساره آمفیبیولیت پایینی است. نبود پیروکسن نیز نشان می‌دهد که به رخساره آمفیبیولیت بالای نرسیده‌اند [۶۶]. همچنین وجود بافت‌هایی چون گارنت پسا زمین‌ساخت در گارنت آمفیبیولیت‌ها و آمفیبیول‌های متقاطع و تصادفی در آمفیبیولیت‌ها نشانگر عملکرد دگرگونی مجاورتی است (شکل ۳). پورمحمد [۲۶] شیستوارگی  $S_1$  و کلریتوئید در متاپلیت‌ها را نشانه‌ای از دگرگونی ناحیه‌ای و وجود بافت‌های متقاطع و تصادفی در کانی‌های آندالوزیت، استارولیت، مسکوویت و گارنت پسازمین ساخت در متاپلیت‌ها را ناشی از دگرگونی مجاورتی می‌داند.

با توجه به جدول ۱ و شکل ۴، ترتیب فراوانی اعضای نهایی گارنت در آمفیبیولیت‌ها: آلماندین - گروسولار-اسپسارتین-پیروپ است. همچنین الگوی آن‌ها مسطح است و تغییر ویژه‌ای ناشی از تغییرات دما و فشار، نشان نمی‌دهد. از طرفی، مقدار بالای گروسولار در گارنت آمفیبیولیت نسبت به متاپلیت‌ها [۲۶] و فراوانی کلسیم در آمفیبیول (جدول ۲)، نشان دهنده اثر ترکیب‌های سنگ کل بر این تغییرات است. چنان که بیان شد، وجود کانی‌هایی چون تیتانیت، هماتیت و اپیدوت نشان دهنده شرایط ویژه تشکیل سنگ‌ها در اثر گریزندگی اکسیژن است که می‌تواند مقدار عنصر (مانند  $Ti^{4+}$ ,  $Al_{tot}^{3+}$ ,  $Mg^{2+}$  و  $Fe^{3+}$ ) در ترکیب آمفیبیول تغییر داده و بر تبادلهای آهن و منیزیم بین گارنت و آمفیبیول اثر گذارد. همچنین وجود بیوتیت در گارنت آمفیبیولیت‌ها به احتمال بسیار نشان می‌دهد که در سنگ اولیه مقدار قابل ملاحظه‌ای  $K_2O$  (احتمالاً کانی رسی) وجود داشته است اما برای ساخت مسکوویت کافی نبوده است [۶۷].



شکل ۱۱ نمودار  $R^{2+}$ - $Si$  نشانگر و نمونه‌های بیوتیت کلریتی شده بر آن، (الف) دمای کمتر از  $150^{\circ}C$  و (ب) پراکندگی نمونه‌های بیوتیت کلریتی شده در گستره کلریت‌های دما پایین.

برداشت  
های کلریتی شده نیز کمتر از  $150^{\circ}C$  است. دمای محاسبه شده برای بیوتیت-

قدردانی در اینجا لازم است از آقایان پروفسور اسپیر و پروفسور هولند برای راهنمایی‌های موثر علمی آنها تشکر نماییم. همچنین از آقای مجید آروین نژاد به جهت همراهی در کارهای صحرایی قدردانی می‌گردد. از معاونت پژوهش و فناوری دانشگاه لرستان نیز برای حمایت‌های مالی سپاسگزاریم.

#### مراجع

- [1] Coutinho J., Kräutner H., Sassi F., Schmid R., Sen S., "Amphibolite and Granulite", Recommendations by the IUGS Subcommission on the Systematics of Metamorphic Rocks: Web version, (2007), 1-12.
- [2] Endo S., Nowak I., Wallis S. R., "High-pressure garnet amphibolite from the Funaokayama unit, western Kii Peninsula and the extent of eclogite facies metamorphism in the Sanbagawa belt", Journal of Mineralogical and Petrological Sciences, Vol. 108,(2013) 189–200.
- [3] Thomas H., Paudel L., "Petrogeochemistry of Amphibolites from Shivpura District Bhilwara, Rajasthan, India", Journal of Institute of Science and Technology, 20(2), (2015) 103-112.
- [4] Li Y., Zhao L., Li Z., Luo B., Zheng J., Brouwer F. M., "Petrology of Garnet Amphibolites from the Hualong Group: Implications for

مجموعه دگرگونی گیسور که در معرض توده‌های نفوذی بوده است، دارای طیف ترکیب گوناگونی از اسلیت و فیلیت تا انواع شیسته‌های است. آمفیبولیت‌ها به صورت میان‌لايه در متاپلیت‌ها واقع بوده و با آنها هم شبیه هستند. براساس شواهد صحرایی و حضور کانی‌های شاخصی چون گارنت، آمفیبول کلسیم‌دار و تیتانیت، آمفیبولیت‌ها از سنگ‌مادر کربناتی ناخالص (مانند رسوبات کربناتی) ایجاد شده‌اند. آمفیبولیت‌ها به دو دسته گارنت آمفیبولیت و آمفیبولیت بدون گارنت تقسیم می‌شوند. بلورهای گارنت پسا زمین‌ساخت هستند. بلورهای منشوری آمفیبول در دو راستا قرار دارند و جهت‌یافته‌گی تصادفی و متقطع را ایجاد نموده‌اند. نیم رخ گارنت الکوئی مسطح را نشان می‌دهد، اما آمفیبول دارای منطقه‌بندی است. بیوتیت بوسیله کلریت جایگزین شده است. وجود کانی‌های تیتانیت، هماتیت و اپیدوت نشانگر اثر گرینزندگی اکسیژن است و در بین روش‌های زمین دما-فشارسنجی می‌توان از روش تیتان و سیلیسیم در آمفیبول برای تعیین دما و از روش مقدار (M4) در آمفیبول برای تعیین فشار استفاده کرد. بر این اساس، دما و فشار محاسبه شده برای آمفیبولیت‌ها به ترتیب  $60.9^{\circ}C$  -  $534$  kbar حدود  $4 - 2$  است. بنابراین، آمفیبولیت‌های گیسور تا محدوده رخساره آمفیبولیت میانی در هاله دگرگونی پیش رفته‌اند. همچنین این سنگ‌ها دستخوش یک دگرگونی پرگشتی شده‌اند که دما و فشار محاسبه شده برای آن به ترتیب

- [18] Kertz R., *Symbols for rock-forming minerals* , American Mineralogist, 68 (1983), 277-279.
- [19] Whitney D.L., Evans B.W., *Abbreviations for names of rock-forming minerals* . Am. Mineral. 95, (2010) 185–187.
- [20] Nabavi M. H., *An introduction to the geology of Iran* , Geological Survey of Iran. (1976)109 p.
- [21] Pourmohammad A. S., Ahmadi Khalaji A., Homam M., Tahmasebi Z., Ebrahimi M., "Geochemistry, petrogenesis and tectonic setting of Geysour granitoid, East Gonabad", Geological Survey of Iran .in press. (in Persian) (2019).
- [22] Homam S. M., Ghaemi F., *The mechanism of fibrolite formation in the contact aureole of Mashhad* , Iranian Society of Crystallography and Mineralogy.Vol. 16, No. 1(2008).
- [23] Ague J.J., Baxter E. F., Eckert Jr, J. O. "High  $fO_2$  during sillimanite zone Metamorphism of part of the barrovian type Locality, Glen Clova", Scotland. J. Petrology. 42, 7, (2001) 1301-1320.
- [24] Barker, A. J., *Introduction to metamorphic textures and microstructures* , Springer US. (1998)
- [25] Grew, E. S., Locock, A. J., Mills, S. J., Galuska, I. O., Galuskin, E. V. and Hålenius, U., *IMA report nomenclature of the garnet supergroup* . American Mineralogist, 98, (2013) 785-811.
- [26] Pourmohammad, A. S., *Petrology, Geochemistry and Geochronology of granitoid complex and metamorphism rocks in Geysour, East of Gonabad, Khorasan Razavi province* . Lorestan University, PhD. Thesis.
- [27] Kohn, M. J., Spear, F. S., and Dalziel, I. W. D., "Metamorphic P-T Path from Cordillera Darwin, a core complex in Tierra del Fuego, Chile". Journal of Petrology, 34, part 3, (1993) 519-542.
- [28] Spear, F. S., "Metamorphic phase equilibrium and pressure-temperature-time paths", Mineralogical Society of America, Washington, D. C.,( 1995) 823 p.
- [29] Triboulet, C., *The (Na-Ca) amphibole-albite-chlorite-epidote-quartz geothermobarometer in the system S-A-F-M-C-N-H<sub>2</sub>O. 1. An empirical calibration* . Journal of Metamorphic Geology, 10, (1992) 545-556.
- Metamorphic Evolution of the Qilian Orogen, NW China* , Journal of Earth Science, Vol. 29, No. 5, (2018) 1102–1115.
- [5] Kanisawa S., *Garnet-amphibolites at Yokokawa in the Abukuma Metamorphic Belt, Japan* , Contribution Mineralogy and Petrology, 20, (1969), 164-176.
- [6] Blatt H., Tracy R., Owens B., "Petrology: Igneous, Sedimentary, and Metamorphic" , Freeman Publisher, (2006),1-530.
- [7] Bucher K., Frey M., " Petrogenesis of Metamorphic Rocks" , Springer, (2002), 1-350.
- [8] B.R.G.M. Co., *Explanatory text of the Gonabad Quadrangle map 1:250000* , Geological Survey of Iran. (1992) p.166.
- [9] Karimpour M. H., Moradi M., *Petrology of Granodiorite and Monzonites of eastern Najmabad (Gonabad)* , 17th Iranian Society of Crystallography and Mineralogy, Bo Ali Sina University, Hamedan. (in Persian) (2009).
- [10] Ghaemi F., "Geological Map 1: 100,000 Nodeh" , Geological Survey of Iran, (in Persian) (2010).
- [11] Foley A., "Geological Map of 1: 250000 Gonabad" , Geological Survey of Iran (2004).
- [12] Javadi S., "Petrological investigation of metamorphic rocks of Chah Yousef mountains area north of Geysour village" , Mashhad Ferdowsi University. Master thesis. (in Persian) (2013).
- [13] Kerrick D. M., "Contact metamorphism, Reviews in mineralogy", Mineralogical society of America, 26 (1991), 847 p.
- [14] Powell P., Holland T. J. B., "An internally consistent dataset with uncertainties and correlations: 3. Applications to geobarometry, worked examples and a computer program" , Journal of metamorphic Geology, 6(2) (1988) 173-204.
- [15] Spear F. S., Kohn M. J., "Program Thermobarometry, version 2.1" , GTB program manual, (1999) 1-42.
- [16] Yavuz F., Kumral M., Karakaya N., Karakaya M. Ç., Yıldırım D. K., "A Windows program for chlorite calculation and classification" , Computers and Geosciences, 81(2015) 101-113.
- [17] Yavuz F., Döner Z., WinAmptb A., "Windows program for calcic amphibole thermobarometry" , Periodico di Mineralogia, 86, (2017) 135-167.

- between biotite and garnet", Contributions to Mineralogy and Petrology, 66 (1978), 113-117.*
- [40] Perchuk, L. L. and Lavrent'eva, I. V. *Experimental investigation of exchange equilibrium in the system cordierite-garnet-biotite. In Saxena, S. K., ed. Kinetics and equilibrium in mineral reactions", Springer Verlag, (1983) 199-239.*
- [41] Ganguly, J. and Saxena, S. K. *Mixing properties of aluminosilicate garnets: constraints from natural and experimental data, and applications to geothermobarometry", American Mineralogist, 69, (1984) 88-97.*
- [42] Patio Douce, A. E., Johnston, A. D., and Rice, J. M. *Octahedral excess mixing properties in biotite: A working model with applications to geobarometry and geothermometry". American Mineralogist, 78, (1993) 113-131.*
- [43] Hodges K. V., Spear F. S., *Geothermometry, geobarometry and the  $Al_2SiO_5$  triple point at Mt. Moosilauke, New Hampshire". American Mineralogist, 67, (1982) 1118-1134.*
- [44] Indares A., Martignole J., *Biotite-garnet geothermometry in the granulite facies: the influence of Ti and Al in biotite", American Mineralogist, 70, (1985) 272-278.*
- [45] Graham C., Powell R., *A garnet-hornblende geothermometer: calibration, testing, and application to the Pelona Schist, Southern California", Journal of metamorphic geology, 2, (1984) 13-31.*
- [46] Wones D.R., *Significance of the assemblage titanite+magnetite+quartz in granitic rocks", American Mineralogist, 74, (1989) 744-749.*
- [47] Helz R.T., *Phase relations of basalts in their melting range at  $PH_2O=5$  kb as a function of oxygen fugacity", Part I. Mafic phases. Journal of Petrology 14, (1973) 249-302.*
- [48] Ernst W.G., Liu J., *Experimental phase-equilibrium study of Al- and Ti-contents of calcic amphibole in MORB-A semiquantitative thermobarometer", American Mineralogist 83, (1998) 952-969.*
- [49] Anderson J.L., Smith D.R., *The effects of temperature and  $fO_2$  on the Al-in-hornblende barometer", American Mineralogist 80, (1995) 549-559.*
- [30] Schumacher J. C., *Empirical ferric iron corrections: necessity, assumptions, and effects on selected geothermobarometers", Mineralogical Magazine, 55, (1991) 3-18.*
- [31] Locock, A. J., *An Excel spreadsheet to classify chemical analyses of amphiboles following the IMA 2012 recommendations", Computers & Geosciences, 62, (2012) 1-11.*
- [32] Leake, B. E., Woolley, A. R., Arps, C. E. S., Birch, W. D., Gilbert, M. C., Grice, J. D., Hawthorne, F. C., Kato, F. C., Kisch, H. J., Krichovichev, V. G., Linthout, K., Laird, J., Mandarino, J. A., Maresch, W. V., Nickel, E. H., Rock, N. M. S., Schumacher, J. C., Smith, D. C., Stephenson, N. C. N., Ungaretti, L., Whittaker, E. J. W. and Youzhi, G., *Nomenclature of amphiboles: report of the subcommittee on amphiboles of the International Mineralogical Association, Commission on new minerals and mineral names", American Mineralogist, 82, (1997) 1019-1037.*
- [33] Leake, B. E., *The relationship between tetrahedral aluminum and the maximum possible octahedral aluminum in natural calciferous and subcalciferous amphiboles". American Mineralogist, 50,(1965) 843-854.*
- [34] Holland, T.J.B. and Powell, R., *An internally consistent thermodynamic data set for phases of petrological interest". J. Metamorphic Geology, 16, (1998) 309-344.*
- [35] Zane, A., Weiss, Z., *A procedure for classifying rock-forming chlorites based on microprobe data", Rend. Lincei Sci. Fis. Nat. Ser., 9, (1998) 51-56.*
- [36] Plissart, G., Féménias, O., Măruntiu, M., Diot, H., Demaiffe, D., *"Mineralogy and geothermometry of gabbro-derived list venites in the Tisovita-Iutiophiolite south western Romania", Canadian Mineralogist, 47 (2009) 81-105.*
- [37] Wiewióra, A., Weiss, Z., *"Crystalliochemical classifications of phyllosilicates based on the unified system of projection of chemical composition: II. The chlorite group", Clay Minerals, 25 (1990), 83-92.*
- [38] Bayliss, P., *Nomenclature of the trioctahedral chlorites", Canadian Mineralogist, 13 (1975) 178-180.*
- [39] Ferry, J. M. Spear, F. S., *Experimental calibration of the partitioning of Fe and Mg*

- [60] Larocque J., Canil D., *The role of amphibole in the evaluation of arc magmas and crust: the case from the Jurassic Bonanza arc section, Vancouver Island, Canada*, Contributions to Mineralogy and Petrology, 159, (2010) 475-492.
- [61] Krawczynski M.J., Grove T.L., Behrens H., *Amphibole stability in primitive arc magmas: effects of temperature, H<sub>2</sub>O content, and oxygen fugacity*, Contributions to Mineralogy and Petrology, 164, (2012) 317-339.
- [62] Putirka K., *Amphibole thermometers and barometers for igneous systems and some implications for eruption mechanisms of felsic magmas at arc volcanoes*, American Mineralogist, 101, (2016) 841-858.
- [63] Mutch E.J.F., Blundy J.D., Tattich B.C., Cooper F.J., Brooker R.A., *An experimental study of amphibole stability in low-pressure granitic magmas and a revised Al-in-hornblende geobarometer*, Contributions to Mineralogy and Petrology, 171(10), (2016) p.85.
- [64] Smith D.R. *The Enchanted Rock batholith, Texas: Geochemical constraints on the origin of Llano granites*, Geological Society of America Abstracts with Programs, 25, (1993) 261.
- [65] Brown E. H., *The Crossite Content of Ca-Amphibole as a Guide to Pressure of Metamorphism*, Journal of Petrology, 18(1), (1977) 53-72.
- [66] Lou Y., Wei C., Liu X., Zhang C., Tian Z., Wang W., *Metamorphic evolution of garnet amphibolite in the western Dabieshan eclogite belt, Central China: Evidence from petrography and phase equilibria modeling*, Journal of Asian Earth Sciences, 63 (2013) 130–138.
- [67] Aliani F., Miri M. M., Sepahi A. A., Moanijoo M., *Evaluation of chemistry and estimation of temperature and pressure of garnet amphibolites in Hamadan*, Iranian Society of Crystallography and Mineralogy, 2, (2017) 295-310.
- [68] Haji Ali Oglu R., *Mineral chemistry, temperature-pressure and tectonic of garnet amphibolites of Takht-e-Soleiman, northwest of Takab*, Iranian Society of Crystallography and Mineralogy, 4, (2017) 749-760.
- [69] Bourdelle F., Cathelineau M., *Low-temperature chlorite geothermometry: a graphical representation based on a T-R<sup>2+</sup>-Si diagram*, Eur. J. Mineral., 27(2015), 617-626.
- [50] Otten M.T., *The origin of brown hornblende in the Artfjället gabbro and dolerites*, Contributions to Mineralogy and Petrology, 86, (1984) 189-199.
- [51] Gerya T.V., Perchuk L.L., Triboulet C., Audren C. & Sez'ko A.I., *Petrology of the Tumanshet zonal metamorphic complex, eastern Sayan*, Petrology, 5(6), (1997) 503-533.
- [52] Plyusnina L.P., *Geothermometry and geobarometry of plagioclase-hornblende bearing assemblages*, Contributions to Mineralogy and Petrology, 80, (1982) 140-146.
- [53] Zenk M., Schulz B., *Zoned Ca-amphiboles and related P-T evolution in metabasites from the classical Barrovian metamorphic zones in Scotland*, Mineralogical Magazine, Vol. 68(5), (2004), 769–786.
- [54] Hammarstrom J.M., Zen E.A., *Aluminum in hornblende: An empirical igneous geobarometer*, American Mineralogist 71(11-12), (1986) 1297-1313.
- [55] Hollister L.S., Grissom G.C., Peters E.K., Stowell H.H., Sisson V.B., *Confirmation of the empirical correlation of Al in hornblende with pressure of solidification of calc-alkaline plutons*, American Mineralogist, 72, (1987) 231-239.
- [56] Johnson M.C., Rutherford M.J., *Experimental calibration of the aluminum-in-hornblende geobarometer with application to Long Valley caldera (California) volcanic rocks*, Geology, 17, (1989) 837-841.
- [57] Thomas W., Ernst W.G., *The aluminum content of hornblende in calc-alkaline granitic rocks: a mineralogic barometer calibrated experimentally to 12 kbars* In: Spencer RJ, Chou I-M (eds) *Fluid-mineral interactions: a tribute to H.P. Eugster*, Geochemical Society of Special Publications 2(1990)59-63.
- [58] Schmidt M.W., *Amphibole composition in tonalite as a function of pressure: an experimental calibration of the Al-in-hornblende barometer*, Contributions to Mineralogy and Petrology, 110, (1992) 304-310.
- [59] Ague J.J., *Thermodynamic calculation of emplacement pressures for batholithic rocks, California: Implications for the aluminum-in-hornblende barometer*, Geology 25, (1997) 563-566.